



**PENGARUH LAJU TEMPERATUR SOLIDIFIKASI
TERHADAP KRISTALINITAS NANO SENG OKSIDA
DENGAN METODE SIMULASI DINAMIKA MOLEKULAR**

Skripsi

Oleh :

Novel Bagas Satrio Wibowo

141910101079

PROGRAM STRATA 1 TEKNIK

JURUSAN TEKNIK MESIN

FAKULTAS TEKNIK

UNIVERSITAS JEMBER

2019



**PENGARUH LAJU TEMPERATUR SOLIDIFIKASI
TERHADAP KRISTALINITAS NANO SENG OKSIDA
DENGAN METODE SIMULASI DINAMIKA MOLEKULAR**

SKRIPSI

diajukan guna melengkapi tugas akhir dan memenuhi salah satu syarat
untuk menyelesaikan Program Studi Teknik Mesin (S1)
dan mencapai gelar Sarjana Teknik

Oleh:

Novel Bagas Satrio Wibowo

141910101079

PROGRAM STUDI STRATA I TEKNIK

JURUSAN TEKNIK MESIN

FAKULTAS TEKNIK

UNIVERSITAS JEMBER

2019

PERSEMBAHAN

Dengan menyebut nama Allah SWT yang maha pengasih dan penyayang, saya persembahkan skripsi ini sebagai bentuk tanggung jawab dan ungkapan terima kasih kepada :

1. Allah SWT yang selalu melimpahkan rahmat, rezeki, dan hidayah-Nya sehingga saya dapat menyelesaikan skripsi ini.
2. Nabi Muhammad SAW yang telah membawa kebenaran dari jalan kegelapan menuju jalan yang terang benderang yaitu Islam
3. Kedua orang tua saya Bambang Cipto Wibowo dan Sri Handayani yang tidak pernah lelah untuk memberikan dukungan baik secara moril maupun materiil sehingga saya dapat menyelesaikan skripsi ini dengan baik.
4. Kakakku Roman Bagus Widya Utama dan Adikku Bima Aji Satriyo Widigdo yang selalu memberikan dukungan serta motivasi dalam setiap langkahku.
5. Bapak Imam Sholahuddin, S.T., M.T. selaku pembimbing grup riset MRG 5 yang selalu membimbing saya, baik motivasi, arahan maupun saran yang tiada henti-hentinya selama riset. Serta keluarga besar grup riset MRG yang selalu memberikan saran dan motivasi selama riset.
6. Teman-teman MRG periode 5 yang selalu memberikan motivasi pada saat riset berlangsung
7. Teman-teman seperjuangan Teknik Mesin angkatan 2014 (M16) yang telah mendukung dari awal masuk hingga saat ini

MOTTO

Barang Siapa yang bersungguh sungguh, sesungguhnya keseungguhan tersebut untuk kebaikan dirinya sendiri.

(Surat Al-Ankabut. Ayat 6)

The only way to do great work is to love what you do

(Steve Jobs)

Kebanyakan orang pintar rata-rata pemalas, maka untuk menjadi orang pintar kita harus.....?

(Cania Citta)

Jangan takut dengan kesulitan sebab kesulitan akan menguatkan hati, membuat anda dapat merasakan nikmatnya sehat, membulatkan tekad, mengangkat kedudukan, dan memunculkan kesabaran anda.

(Dr. Aidh al Qarni)

PERNYATAAN

Saya yang bertanda tangan di bawah ini:

Nama : Novel Bagas Satrio Wibowo

NIM : 141910101079

Menyatakan dengan sesungguhnya bahwa skripsi yang berjudul “Pengaruh Laju Temperatur Solidifikasi Terhadap Kristalinitas Nano Seng Oksida Dengan Metode Simulasi Molekular Dinamik” adalah benar-benar hasil karya sendiri, kecuali kutipan yang sudah saya sebutkan sumbernya, belum pernah diajukan pada institusi manapun, dan bukan karya jiplakan. Saya bertanggung jawab atas keabsahan dan kebenaran isinya sesuai dengan sikap ilmiah yang harus dijunjung tinggi.

Demikian pernyataan ini saya buat dengan sebenarnya, tanpa ada tekanan dan paksaan dari pihak manapun serta bersedia mendapat sanksi akademik jika ternyata dikemudian hari pernyataan ini tidak benar.

Jember, 10 Januari 2019

yang menyatakan,

Novel Bagas Satrio Wibowo

NIM 141910101079

SKRIPSI

**PENGARUH LAJU TEMPERATUR SOLIDIFIKASI TERHADAP
KRISTALINITAS NANO SENG OKSIDA DENGAN METODE SIMULASI
MOLEKULAR DINAMIK**

Oleh:

Novel Bagas Satrio Wibowo

NIM 141910101079

Pembimbing

Dosen Pembimbing Utama

: Dr. Agus Triono, S.T., M.T.

Dosen Pembimbing Anggota

: Sumarji, S.T., M.T.

PENGESAHAN

Skripsi berjudul “Pengaruh Laju Temperatur Solidifikasi Terhadap Kristalinitas Nano Seng Oksida Dengan Metode Simulasi Molekular Dinamik” telah diuji dan disahkan pada :

Hari, tanggal : Kamis, 10 Januari 2019

Tempat : Fakultas Teknik, Universitas Jember

Tim Pembimbing

Dosen Pembimbing Utama,

Dosen Pembimbing Anggota,

Dr. Agus Triono, S.T., M.T.
NIP 197008072002121001

Sumarji, S.T M.T.
NIP 196802021997021001

Tim Penguji

Penguji I,

Penguji II,

Aris Zainul Muttaqin, S.T., M.T.
NIP 196812071995121001

Santoso Mulyadi, S.T., M.T.
NIP. 197002281997021001

Mengesahkan
Dekan Fakultas Teknik Universitas Jember,

Dr. Ir. Entin Hidayah, M.U.M.
NIP 19661215 1995 03 2 001

RINGKASAN

“Pengaruh Laju Temperatur Solidifikasi Terhadap Kristalinitas Nano Seng Oksida Dengan Metode Simulasi Molekular Dinamik”; Novel Bagas Satrio Wibowo, 141910101079; 2019; 115 halaman; Jurusan Teknik Mesin Universitas Jember, Fakultas Teknik, Universitas Jember.

Penggunaan nanoteknologi di indonesia semakin berkembang luas sehingga kehadiran nanoteknologi sudah dapat kita rasakan, nanoteknologi mulai di aplikasikan sebagai teknologi yang digunakan untuk memenuhi kebutuhan masyarakat indonesia. Dalam lima puluh tahun terakhir teknologi nano megalami perkembangan yang sangat pesat hal ini ditandai dengan ribuan nano desain telah di aplikasikan. sehingga hadirnya teknologi nano menjadi peluang untuk memunculkan potensi energi sumber terbarukan.

Pada penelitian ini proses solidifikasi nano seng oksida diteliti menggunakan metode simulasi molekular dinamik dengan variasi laju temperatur solidifikasi 10^{10} K/s, 10^{11} K/s, 10^{12} K/s, Proses simulasi menggunakan potensial LJ (*Lennard-Jones*) dengan menggunakan bantuan perangkat lunak VESTA JP-Minerals sebagai perangkat modifikasi atom, LAMMPS (Large-scale Atomic/Molecular Massively Parallel Simulator) sebagai perangkat lunak simulasi, dan OVITO (Open Visualization Tools) sebagai perangkat visualisasi hasil proses simulasi.

Berdasarkan hasil simulasi solidifikasi nano seng oksida (wurtzite) yang telah dilakukan, fungsi distribusi radial nano seng oksida dengan laju temperatur solidifikasi 10^{10} K/s adalah 1.800.000 g(r), pada laju 10^{11} K/s menghasilkan nilai distribusi radial sebesar 22.000 g(r), pada laju 10^{12} K/s menghasilkan nilai distribusi radial sebesar 8000 g(r) maka dapat dikatakan semakin tinggi laju temperatur solidifikasi maka kristalinitas akan semakin rendah. Pertumbuhan partikel nano seng oksida (wurtzite) pada laju temperatur solidifikasi sebesar 10^{10} K/s menghasilkan diameter partikel sebesar 3,394 nm, pada laju temperatur solidifikasi 10^{11} K/s di dapat nilai diameter 3,351 nm, sedangkan pada laju temperatur solidifikasi 10^{12} K/s dihasilkan partikel dengan diameter 3,317 nm. Pada distribusi

partikel nano seng oksida (wurtzite) pada laju 10^{10} K/s menghasilkan kluster dengan jumlah atom sebanyak 2350 atom, pada laju 10^{11} K/s dihasilkan kluster dengan jumlah atom 2360 atom, sedangkan pada laju 10^{12} K/s dihasilkan kluster dengan jumlah atom sebanyak 2070 atom, dari visualisasi dapat dikatakan proses rekombinasi terbaik dihasilkan dengan laju 10^{10} K/s.



SUMMARY

"Effect of Solidification Temperature Rate on the Crystallinity of Nano Zinc Oxides with Dynamic Molecular Simulation Methods"; Novel Bagas Satrio Wibowo, 141910101079; 2019; 115 page; Mechanical Engineering Department, University of Jember, Faculty of Engineering, University of Jember.

The use of nanotechnology in Indonesia is growing, so we can feel nanotechnology, nanotechnology has begun to be applied as a technology used to meet the needs of the Indonesian people. In the last fifty years nano technology has experienced a very rapid development, this is marked by thousands of nano designs have been applied. So the presence of nanotechnology is an opportunity to bring up the potential of renewable energy sources.

In this study, the nano sengida solidification process uses a dynamic molecular simulation method with variations in rate, solidification of 10^{10} K/s, 10^{11} K/s, 10^{12} K/s. The testing process uses the potential of LJ (Lennard-Jones) by using the use of VESTA JP-Mineral application as atomic modification devices, LAMMPS (Massive Atomic / Molecular Parallel Simulator) as modification software, and OVITO (Open Visualization Tool) as a visualization device as a result of the simulation process.

Based on the results of the nanoscale zinc oxide (wurtzite) solidification simulation, the radial nano zinc oxide distribution function with a solidification temperature of 10^{10} K / s is 1,800,000 g (r), at a rate of 10^{11} K/s the radial distribution value is 22,000 g (r) , at the rate of 10^{12} K/s produces a radial distribution value of 8000 g (r) so that it can be given an increase in the temperature solidification rate so that crystallinity will be lower. The acquisition of zinc oxide nanoparticles (wurtzite) at a padatification temperature rate of 10^{10} K / s produces a particle diameter of 3.394 nm, at a temperature rate of 10^{11} K/s the diameter value is 3.351 nm, when the solidification temperature rate is 10^{12} K/s particle size 3,317 nm. In the distribution of zinc oxide nanoparticles (wurtzite) at a rate of 10^{10} K/s it produces clusters with

as many as 2350 atoms, at a rate of 10^{11} K/s clusters with an atomic number of 2360 atoms, at a rate of 10^{12} K/s clusters with 2070 atoms , from visualization can produce the best recombination process produced at a rate of 10^{10} K/s.



PRAKATA

Puji syukur kepada Allah SWT yang telah memberikan rahmat dan karuniaNya sehingga penulis dapat menyelesaikan skripsi ini yang berjudul “Pengaruh Laju Temperatur Solidifikasi Terhadap Kristalinitas Nano Seng Oksida Dengan Metode Simulasi Molekular Dinamik”. Shalawat dan salam penulis curahkan kepada Nabi Muhammad SAW yang telah menunjukkan inspirasi, suri tauladan, dan jalan yang terang bagi umat manusia dalam menjalani kehidupan di dunia. Skripsi ini disusun guna memenuhi salah satu syarat menyelesaikan pendidikan strata satu (S1) pada Jurusan Teknik Mesin Fakultas Teknik Univeritas Jember.

Penulis tidak lupa berterima kasih serta mengapresiasi semua pihak yang telah membantu dan mendukung selama penyusunan skripsi ini, khusunya kepada:

1. Bapak Dr. Agus Triono, S.T., M.T. selaku Dosen Pembimbing Utama, dan Bapak Sumarji, S.T., M.T. selaku Dosen Pembimbing Anggota yang telah memberikan masukan dan arahan dalam penyusunan dan penulisan skripsi ini. serta Bapak Aris Zainul Muttaqin, S.T., M.T. selaku Dosen Penguji Utama dan Bapak Santoso Mulyadi S.T., M.T. selaku Dosen Penguji Anggota yang telah memberikan kritik dan saran yang membangun untuk perbaikan skripsi.
2. Rekan kerjaku Arap, Bang Pai, Bolang, Ivan dan Vale serta keluarga besar MRG yang selalu memberikan dukungan, ide dan motivasi dalam penyelesaian skripsi ini.
3. Semua pihak yang telah membantu dan tidak dapat disebutkan satu per satu.

Penulis menyadari bahwa dalam penyusunan skripsi ini masih jauh dari kesempurnaan. Semoga hasil dari penelitian ini dapat memerikan manfaat bagi dan pembaca.

Jember, 10 Januari 2019

Penulis

DAFTAR ISI

HALAMAN JUDUL	
PERSEMBAHAN.....	iii
MOTTO	iv
PERNYATAAN.....	v
SKRIPSI.....	vi
PENGESAHAN	vii
RINGKASAN	viii
<i>SUMMARY.....</i>	x
PRAKATA	xii
DAFTAR ISI.....	xiii
DAFTAR GAMBAR.....	xv
DAFTAR TABEL	xvi
BAB 1. PENDAHULUAN	1
1.1 Latar Belakang	1
1.2 Rumusan Masalah.....	3
1.3 Batasan Masalah	3
1.4 Tujuan Penelitian	3
1.5 Manfaat Penelitian	4
1.6 Hipotesis	4
BAB 2. TINJAUAN PUSTAKA.....	5
2.1 Seng Oksida	5
2.2 Struktur Kristal.....	6
2.2.1 Struktur Kristal Seng Oksida	8
2.3 Nanomaterial	8
2.4 Nano Seng Oksida	11
2.5 Derajat Kristalinitas	12
2.5.1 Differential Scanning Calorimetry	12
2.5.2 XRD (X-Ray Difraction).....	13
2.6 Molekular dinamik	14
2.6.1 Interaksi Antar Atom	15

2.6.2 Lennard Jones Potensial (LJ)	16
2.7 Laju Temperatur Solidifikasi.....	16
2.7.1 Perubahan Fasa pada Pembentukan Nanopartikel	17
2.8 Solidifikasi Nano Seng Oksida	19
2.9 Pertumbuhan Partikel (<i>Grain Growth</i>)	20
2.10 Fungsi Distribusi Radial.....	22
2.11 LAMMPS	23
2.12 OVITO	24
2.13 Vesta-Jp Minerals	25
BAB 3. METODOLOGI PENELITIAN	27
3.1 Metode Penelitian.....	27
3.2 Waktu dan Tempat	27
3.3 Alat dan Bahan.....	27
3.4 Prosedur Peneltian	27
3.4.1 Prosedur Pembuatan Read Data	27
3.4.2 Pembuatan Script	29
3.4.3 Menjalankan Simulasi LAMMPS	30
3.4.4 Menjalankan Visualisasi OVITO.....	31
3.5 Diagram Alir Penelitian.....	32
BAB 4. HASIL DAN PEMBAHASAN	33
4.1 Laju Temperatur Terhadap Kristalinitas	33
4.2 Analisa Laju Temperatur Terhadap Pertumbuhan Partikel	36
4.3 Laju Temperatur Terhadap Distribusi Partikel.....	39
4.4 Visualisasi Proses Solidifikasi Nano Seng Oksida (ZnO).....	43
BAB 5. PENUTUP	47
5.1 Kesimpulan	47
5.2 Saran	48
DAFTAR PUSTAKA	49
LAMPIRAN.....	51

DAFTAR GAMBAR

Gambar 2.1 Gambar hasil foto nano seng oksida (ZnO) (Sholihin, 2016)	5
Gambar 2.2 Sifat-sifat seng oksida (Morkoç dan Özgür, 2008)	6
Gambar 2.3 Contoh sistem kristal pada kondisi kristal dan amorph.....	7
Gambar 2.4 Tiga jenis sistem kristal kubik (a) Kubik Sederhana, (b) Kubik Pusat Bidang Muka, (c) Kubik Pusat Ruang Badan	7
Gambar 2.5 Struktur kristal seng oksida (a) rocksalt (b) zinc blende (c) wutzite (Morkoç dan Özgür, 2008)	8
Gambar 2. 6 Macam-macam dimensi nanomaterial (Jayadevan dan Tseng, 2004)	9
Gambar 2.7 Skema pembentukan nano partikel dengan metode top down dan bottom up (Dolez, 2015).....	10
Gambar 2.8 Aplikasi nanomaterial pada berbagai bidang (Alshammari, dkk, 2016)	11
Gambar 2.9 Karakteristik nanopartikel ZnO (Ramahdita, 2011).....	12
Gambar 2.10 Contoh grafik hasil differential scanning calorimetry (Chang, dkk, 2002).....	13
Gambar 2.11 Contoh gambar hasil analisa XRD ZnO (Sholihin, 2016).....	14
Gambar 2.12 Hubungan antara teori, simulasi dan eksperimen (Allen, 2004)	15
Gambar 2.13 Grafik temperatur solidifikasi (Dianat dan Medrano, 2015) ..	17
Gambar 2.14 Skema perubahan fasa pada pembentukan nanomaterial	18
Gambar 2.15 Visualisasi atom pada proses pembentukan nanopartikel	19
Gambar 2.16 Skema solidifikasi (Winegard, 1961)	20
Gambar 2.17 Skema pertumbuhan partikel (Cubillas dan Anderson, 2010)	21
Gambar 2.18 Prinsip dasar perhitungan RDF (J. Buhler, 2011)	22
Gambar 2.19 Kondisi padat, cair dan gas pada partikel (J.Buhler, 2011)....	23
Gambar 2.20 Tampilan antarmuka website resmi LAMMPS	24
Gambar 2.21 Contoh tampilan visualisasi OVITO.....	25
Gambar 2.22 Tampilan antarmuka perangkat lunak VESTA.....	26
Gambar 3.1 Tampilan visualisasi pada program VESTA.	28
Gambar 3.2 Matriks transformasi.....	29
Gambar 3.5 Menu <i>Command Prompt</i>.....	30

Gambar 3.6 Membuka lokasi berkas melalui <i>Command Prompt</i>	31
Gambar 3.7 Diagram alir penelitian	32
Gambar 4.1 Fungsi distribusi radial ZnO (Bharathi dan Duin, 2010)	34
Gambar 4.2 Fungsi distribusi radial nano seng oksida dengan variasi laju temperatur solidifikasi (a) (10^{10} K/s), (b) 10^{11} K/s, (c) 10^{12} K/s	35
Gambar 4.3 Grafik pertumbuhan partikel variasi laju 10^{10} K/s	36
Gambar 4.4 Grafik pertumbuhan partikel variasi laju 10^{11} K/s	37
Gambar 4.5 Grafik pertumbuhan partikel variasi laju 10^{12} K/s	37
Gambar 4.6 Grafik Pertumbuhan Partikel (Savka, dkk, 2017).	38
Gambar 4.8 Visualisasi proses rekombinasi partikel nano ZnO Variasi laju 10^{10} K/s	39
Gambar 4.8 Visualisasi proses rekombinasi partikel nano ZnO Variasi laju 10^{11} K/s	40
Gambar 4.9 Visualisasi proses rekombinasi partikel nano ZnO Variasi laju 10^{12} K/s	40
Gambar 4.10 Grafik Distribusi partikel nano ZnO hasil simulasi variasi laju 10^{10} K/s	41
Gambar 4.11 Grafik Distribusi partikel nano ZnO hasil simulasi variasi laju 10^{11} K/s	41
Gambar 4.12 Grafik Distribusi partikel nano ZnO hasil simulasi variasi laju 10^{12} K/s	42
.....	43
Gambar 4.13 Grafik distribusi partikel pada cluster terbesar	43
Gambar 4.14 Visualisai Proses Solidifikasi Nano Seng Oksida	44
Gambar 4.15 Cluster atom pada simulasi solidifikasi nano ZnO	45
Gambar 4.16 Visualisasi hasil simulasi kondensasi ZnO (Savka, dkk, 2017)	45
.....	46

DAFTAR TABEL

Tabel 4.1 Data Pengamatan Ukuran Partikel 39





BAB 1. PENDAHULUAN

1.1 Latar Belakang

Penggunaan nanoteknologi di indonesia semakin berkembang luas sehingga kehadiran nanoteknologi sudah dapat kita rasakan, nanoteknologi mulai di aplikasikan sebagai teknologi yang digunakan untuk memenuhi kebutuhan masyarakat indonesia. Teknologi nano di aplikasikan pada bidang komputer, produk elektronik, kosmetik, pupuk, polimer, suplemen, hingga obat herbal. Teknologi nano merupakan teknologi yang masih dalam masa pertumbuhan, namun dalam lima puluh tahun terakhir teknologi nano megalami perkembangan yang sangat pesat hal ini ditandai dengan ribuan nano desain telah di aplikasikan. (Bharathi dan Duin, 2010) sehingga hadirnya teknologi nano menjadi peluang untuk memunculkan potensi energi sumber terbarukan (Sholahuddin, 2014).

Hadirnya teknologi nano memiliki peranan penting dalam pemanfaatan suatu material khususnya dalam ukuran nano, material dengan ukuran nano memiliki kelebihan dibanding material yang memiliki ukuran lebih besar salah satu kelebihan yang dimiliki material nano yaitu aktif area yang dimiliki material lebih besar sehingga energi yang dihasilkan oleh material nano lebih besar dibandingkan dengan material yang memiliki ukuran lebih besar (Carruthers, 2006). Nano teknologi adalah teknologi yang membicarakan tentang suatu ukuran dalam skala nano dengan kata lain nano teknologi merupakan teknologi untuk memanipulasi dan memproduksi material dalam skala ukuran nano (Bharathi dan Duin, 2010), suatu material dapat dikatakan sebagai nanomaterial apabila material tersebut memiliki ukuran maksimal 100 nm.

Pembentukan nanomaterial dapat melalui berbagai macam metode beberapa metode yang digunakan namun secara umum pembentukan nanomaterial dilakukan melalui metode bottom-up dan metode top-down (Ramsden, 2010). Pada metode bottom-up nanomaterial terbentuk dengan cara mengumpulkan atom dan molekul sehingga terbentuk klaster atom (kelompok atom) sehingga terbentuk nano partikel. Pada metode ini umumnya melibatkan reaksi kimia, sedangkan metode top-down

yaitu pembentukan nanomaterial dilakukan dengan cara memecahkan benda padat yang akan dibuat menjadi nanomaterial sehingga terbentuk nanomaterial, pada metode ini umumnya menggunakan energi mekanis dalam prosesnya.

Dalam proses pembentukan nano seng oksida terdapat proses solidifikasi yang mana merupakan proses dimana nanomaterial seng oksida terbentuk, Menurut (Hu, dkk, 2010) pada saat 2 atau lebih nanopartikel berada pada kondisi *melting* maka material tersebut akan bergabung menjadi partikel yang lebih besar dan mengalami rekristalinasi, pada proses ini temperatur memiliki peranan penting pada struktur kristal yang dihasilkan pada nanomaterial seng oksida. Proses solidifikasi terjadi pada saat suhu pendinginan yang artinya proses ini merupakan mulai terbentuknya nanopartikel seng oksida dan proses ini terjadi pada skala atomik. Maka dibutuhkan kajian molekular dinamik untuk dapat membahas fenomena yang terjadi.

Molekular dinamik merupakan kajian yang digunakan untuk mengamati pergerakan antar molekul yang saling berinteraksi pada saat proses pembentukan nano partikel karena pada proses pembentukan nano partikel tidak dapat diamati oleh mata telanjang. Pergerakan partikel yang terjadi karena energi yang diberikan kepada material, sehingga memaksa molekul-molekul pada material bergerak dan saling melepaskan diri seiring dengan besarnya energi yang diberikan pada material. Dengan menggunakan kajian molekular dinamik kita dapat mengetahui proses yang terjadi pada saat perubahan serbuk seng oksida menjadi serbuk seng oksida berukuran nano, dan juga dengan bantuan aplikasi yang dapat memudahkan untuk menjelaskan serta mengamati proses yang terjadi pada proses pembentukan nano partikel dengan jalan *visualisasi* proses yang terjadi.

Pada penelitian ini Penulis mengkaji tentang proses solidifikasi pada nanopartikel seng oksida dengan metode simulasi molekular dinamik, dimana berdasarkan latar belakang diatas laju temperatur solidifikasi memiliki pengaruh terhadap tingkat kristalinitas nanopartikel seng oksida, metode ini berupa simulasi berbasis komputasi sehingga dapat mengetahui fenomena solidifikasi pada proses pembentukan nanopartikel seng oksida. Sehingga pada peneltian ini ditujukan

sebagai penunjang analisis berbasis komputasi pada proses solidifikasi nano seng oksida.

1.2 Rumusan Masalah

Berdasarkan latar belakang masalah, maka dirumuskan masalah sebagai berikut :

1. Pengaruh laju temperatur solidifikasi terhadap kristalinitas nano seng oksida ?
2. Pengaruh laju temperatur solidifikasi terhadap pertumbuhan partikel nano seng oksida ?
3. Pengaruh laju temperatur solidifikasi terhadap distribusi partikel nano seng oksida ?
4. Visualisasi solidifikasi nano seng oksida ?

1.3 Batasan Masalah

Untuk memfokuskan permasalahan yang akan diteliti pada penelitian ini, maka akan dibatasi permasalahan yang akan dibahas sebagai berikut :

1. Menggunakan material seng oksida dengan struktur kristal wurtzite.
2. Jumlah atom ZnO yang digunakan 5806 atom.
3. Potensial yang digunakan pada proses simulasi solidifikasi nano seng oksida adalah lennard-jones.

1.4 Tujuan Penelitian

Tujuan dari penelitian ini adalah :

1. Mengetahui pengaruh laju temperatur solidifikasi terhadap tingkat kristalinitas seng oksida.
2. Mengetahui pengaruh laju temperatur solidifikasi terhadap pertumbuhan partikel nano seng oksida.
3. Mengetahui pengaruh laju temperatur solidifikasi terhadap distribusi partikel nano seng oksida.

4. Mengetahui visualisasi proses solidifikasi nano seng oksida

1.5 Manfaat Penelitian

1. Mendapatkan grafik pengaruh proses laju temperatur solidifikasi pada proses solidifikasi nano seng oksida.
2. Dapat mengetahui bentuk struktur kristal yang terbentuk akibat pengaruh laju temperatur solidifikasi.
3. Dapat mengetahui fenomena solidifikasi partikel nano seng oksida pada proses pembentukan nanopartikel seng oksida.
4. Sebagai literatur atau bahan penelitian selanjutnya.

1.6 Hipotesis

Semakin besar nilai laju temperatur solidifikasi maka pertumbuhan partikel nano seng oksida pada proses solidifikasi akan semakin menurun sehingga kristalinitas nano seng oksida semakin rendah.

BAB 2. TINJAUAN PUSTAKA

2.1 Seng Oksida

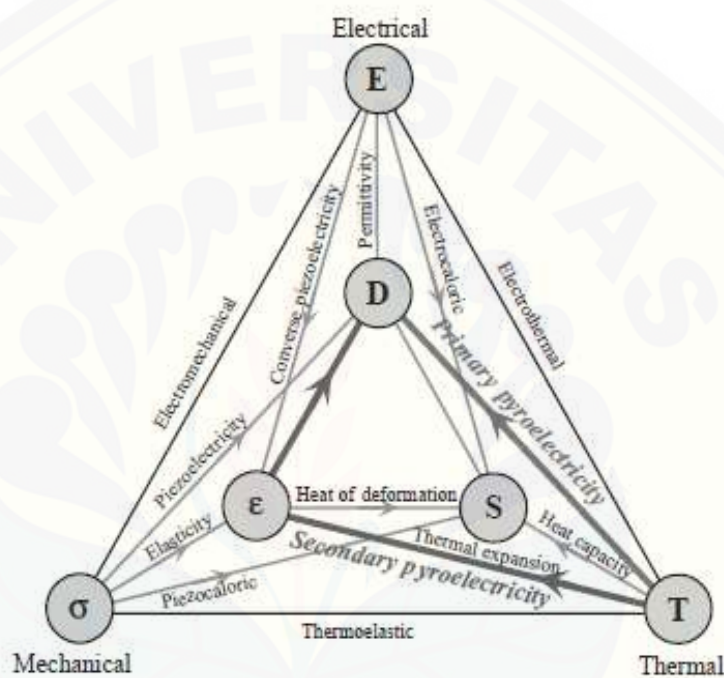
Merupakan senyawa anorganik yang memiliki sifat dan karakteristik yang unik sehingga banyak digunakan dan di aplikasikan dalam berbagai bidang baik industri, kesehatan dan berbagai bidang lainnya. Seng oksida memiliki rumus senyawa (ZnO) yang dapat diartikan bahwa seng oksida terdiri dari dua jenis unsur penyusun utama yaitu Zn (*zink*) dan O (oksigen), seng oksida merupakan material semikonduktor dimana konduktifitasnya tergantung pada atom seng (Zn) yang terkandung di dalamnya (Carter dan Norton, 2013). Ciri fisik yang dimiliki seng oksida adalah berbentuk serbuk putih jika pada keadaan dingin dan akan berwarna kuning jika dalam keadaan panas, untuk sifat yaitu pahit dan tidak berbau, tidak larut dalam air atau alkohol akan tetapi seng oksida akan larut dalam garam amonium.



Gambar 2.1 Gambar hasil foto nano seng oksida (ZnO) (Sholihin, 2016)

Material seng oksida dikatakan material unik karena sifat yang dimiliki, beberapa sifat yang dimiliki oleh seng oksida yaitu piezoelektrik,

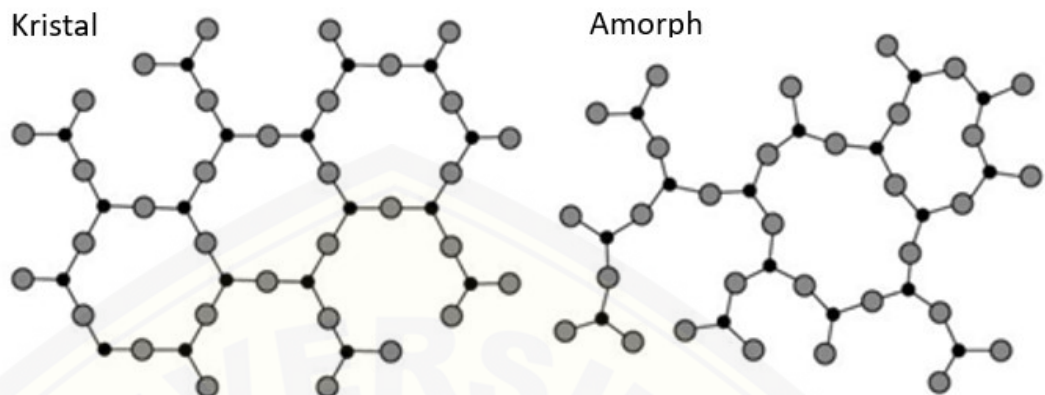
termoelektrik, dan fotoelektrik, anti bakteri, sifat optis yang direkayasa, kemampuan sebagai katalisator dan sifat non toxic pada konsentrasi tertentu (Ramahdita, 2011). Oleh karena itu material ini banyak di gunakan dalam berbagai bidang berikut merupakan aplikasi dari material seng oksida. Sel surya, antibakteri pada polimer, keperluan medis, kosmetik, pelapisan, sensor piezoelektrik, dan biosensor.



Gambar 2.2 Sifat-sifat seng oksida (Morkoç dan Özgür, 2008)

2.2 Struktur Kristal

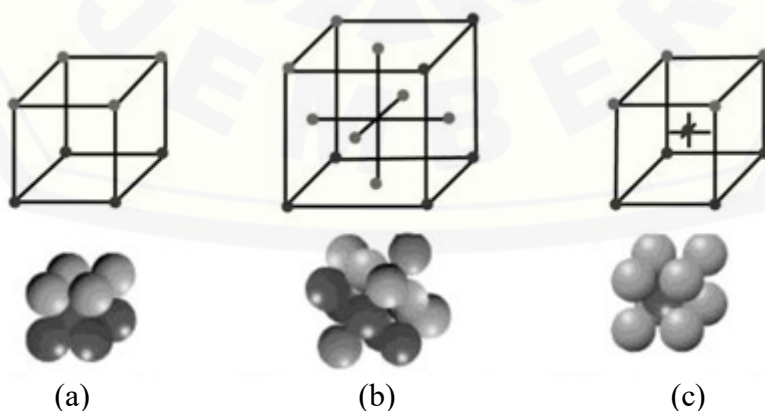
Material zat padat dapat diklasifikasikan berdasarkan keteraturan, di mana atom atau ion tersusun secara teratur antara atom yang satu dengan yang lainnya (atau disebut kristal) seperti intan. Sebuah material kristalin merupakan suatu kondisi di mana atom terletak dalam susunan yang berulang dalam jarak atomik yang besar oleh karena itu, muncul urutan yang panjang. Seperti pada saat terjadi proses pemadatan (solidifikasi), atom-atom akan menempatkan diri mereka sendiri ke dalam pengulangan pola tiga dimensi di mana masing-masing atom terikat dengan atom tetangga yang letaknya sangat dekat.



Gambar 2.3 Contoh sistem kristal pada kondisi kristal dan amorph

Susunan atomik dalam kristal zat padat mengindikasikan bahwa sedikit kelompok atom membentuk sebuah pola pengulangan. Oleh karena itu, dalam menggambarkan struktur kristal, terkadang lebih mudah untuk membagi struktur tersebut ke dalam entitas pengulangan kecil yang disebut sebagai unit sel.

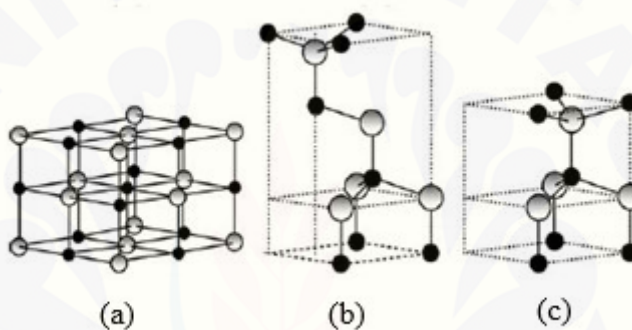
Unit sel (sel satuan) merupakan pola berulang dalam tiga dimensi dan membentuk kisi suatu kristal. Unit sel digambarkan sebagai volume terkecil suatu zat padat (Gambar 2.4). Semua sel satuan di dalam suatu kristal bersifat identik, jika kita membahas salah satunya berarti kita telah mendeskripsikan semuanya sehingga mempermudah proses analisis.



Gambar 2.4 Tiga jenis sistem kristal kubik (a) Kubik Sederhana, (b) Kubik Pusat Bidang Muka, (c) Kubik Pusat Ruang Badan

2.2.1 Struktur Kristal Seng Oksida

Seng oksida memiliki tiga jenis struktur kristal berbeda yaitu wurtzite, zincite atau zincblende dan rocksalt dan ketiga struktur ini ditemui pada kondisi yang berbeda. Seng oksida yang tersedia di alam berbentuk mineral biasanya memiliki struktur kristal zincite. Untuk struktur wurtzite dapat ditemukan pada keadaan dimana material berada pada kondisi dibawah suhu lingkungan dan fasa thermodinamika yang stabil. Sedangkan untuk struktur rocksalt dapat ditemukan pada kondisi tekanan yang tinggi, contohnya pada struktur kristal GaN (Morkoç dan Özgür, 2008).



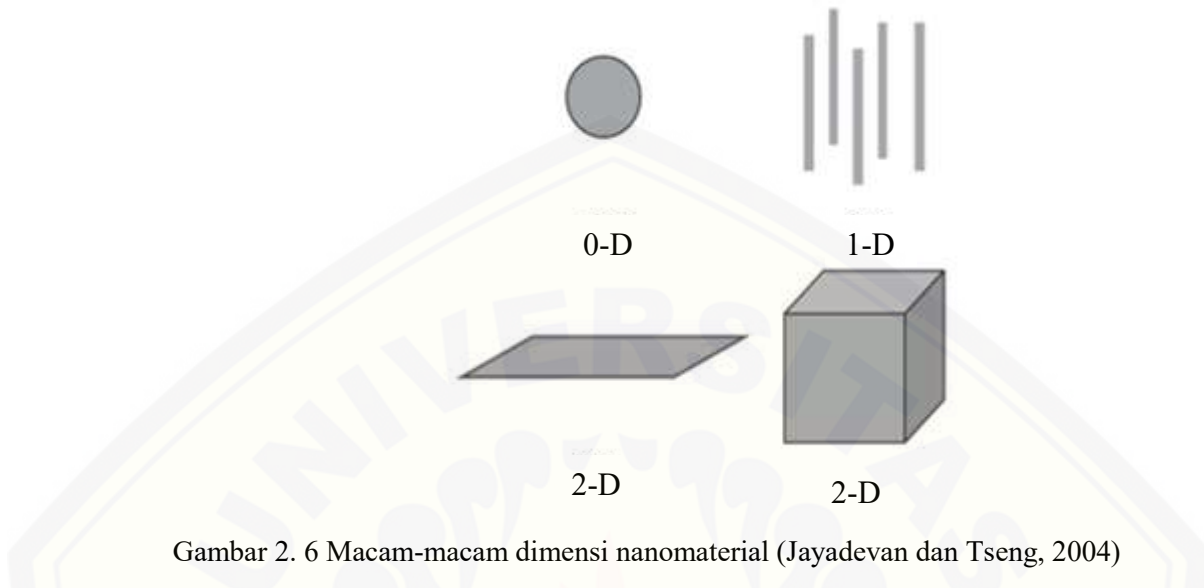
Gambar 2.5 Struktur kristal seng oksida (a) rocksalt (b) zinc blende (c) wutzite (Morkoç dan Özgür, 2008)

2.3 Nanomaterial

Dapat diartikan sebagai material yang memiliki ukuran nano (10^{-9}) satu per satu milyar dari meter, sedangkan nano teknologi adalah ilmu dan rekayasa dalam menciptakan struktur fungsional maupun piranti dalam ukuran atau skala yang kecil (nano). Jadi dapat dikatakan nanoteknologi adalah teknologi yang digunakan untuk menciptakan nanomaterial sehingga potensi dari suatu material dapat dimaksimalkan. Nanomaterial mempunyai sifat material yang unik dalam segi ukuran dan dimensi, dimana nanomaterial ini menentukan batas ukuran dan formasi pada kristal ukuran nano.

Nanomaterial Pada umumnya diklasifikasikan dengan bentuk dan dimensinya. Secara umum Terdapat 4 macam dimensi dari nanomaterial yaitu *zero-dimensional (nanoparticle)*, *one-dimensional (nanowires)*, *two-dimensional*

(*nanostructure thin films*), dan *three-dimensional (nanostructured)* ditunjukkan pada gambar 2.6 (Jayadevan dan Tseng, 2004).

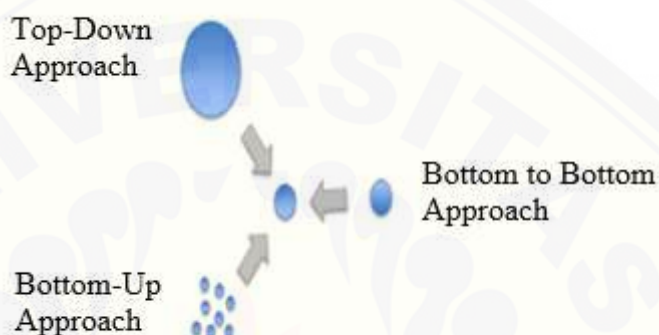


Gambar 2. 6 Macam-macam dimensi nanomaterial (Jayadevan dan Tseng, 2004)

Nanopartikel adalah material yang memiliki bentuk *zero-dimention (0D)* dimana semua dimensi pada nanopartikel linier dengan karakteristik yang dimiliki seragam, besarnya tidak lebih dari 100 nm. Dalam hal tersebut diartikan bahwa material nanopartikel mempunyai ukuran skala nanometer antara 1-100 nm. Nanopartikel memiliki susunan atom yang biasa disebut dengan *nanocrystal*. Terkait dalam hal ini nanopartikel mempunyai sifat dan karakteristik yang berbeda dengan partikel yang lebih besar, hal ini berhubungan dengan luas aktif area yang dimiliki oleh material nanopartikel (Poole dan Owens, 2003)

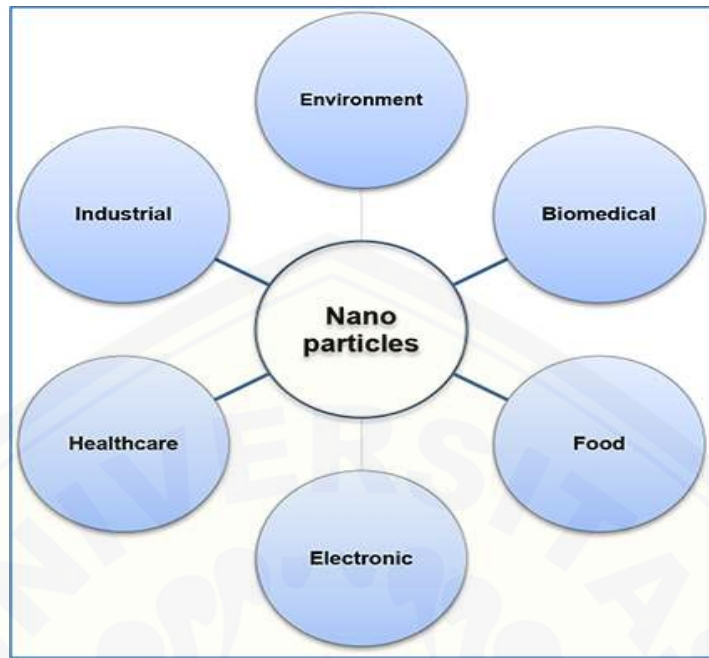
Beberapa metode dihadirkan untuk dapat menghasilkan partikel dengan ukuran nano, dan metode yang umum digunakan untuk membuat nanomaterial adalah teknik *top down* dan *bottom up*. Teknik fabrikasi *top down* dimana skala material yang akan di fabrikasi menjadi nano material memiliki ukuran yang lebih besar sehingga material tersebut akan direduksi menjadi ukuran nano melalui proses mekanik, fisik maupun kimia contoh proses antaralain *ball milling*, *high pressure homogenization* dan lain-lain. Sedangkan untuk metode *bottom up* yaitu dimana ukuran material yang akan di fabrikasi menjadi nanomaterial memiliki ukuran yang lebih kecil sehingga proses pembentukan menjadi nanomaterial seperti pada

gambar 2.7. Kedua metode ini memiliki mempunyai kekurangan dan kelebihan tersendiri, metode ini merupakan metode yang umum digunakan oleh peneliti untuk menghasilkan nanomaterial dimana partikel yang dihasilkan dengan metode *bottom up* yaitu di kisaran ukuran 1-100 nm sedangkan partikel yang dihasilkan dengan metode *top down* menghasilkan partikel *polydispersed* dengan kisaran ukuran > 800 nm (Dolez, 2015).



Gambar 2.7 Skema pembentukan nano partikel dengan metode top down dan bottom up
(Dolez, 2015)

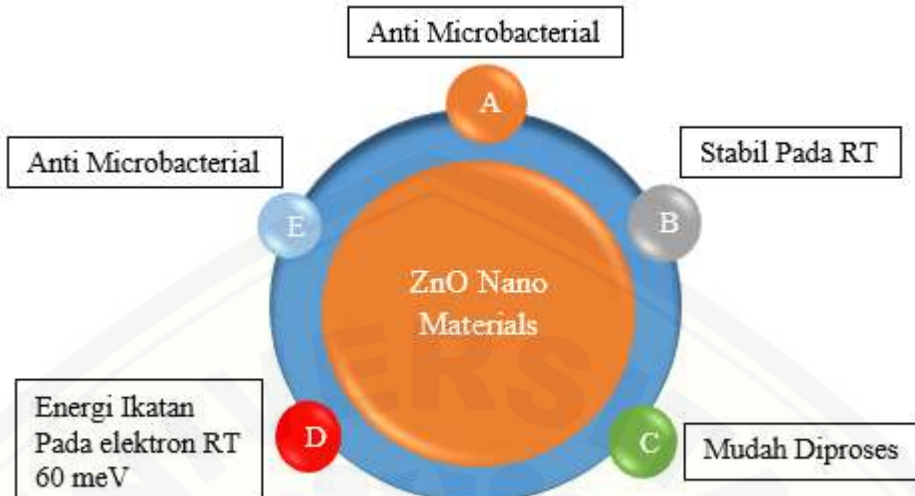
Hingga saat ini nanomaterial merupakan material yang memiliki kegunaan yang sangat melimpah sehingga teknologi nanomaterial ini berguna sebagai media untuk mengoptimalkan fungsional suatu material, teknologi nano banyak di aplikasikan untuk memenuhi kebutuhan masyarakat dan juga beberapa peneliti berlomba-lomba untuk memunculkan teknologi terbaru pada bidang material mengingat potensi pada bidang nanomaterial masih terbuka lebar dan dapat di aplikasikan pada berbagai bidang seperti pada gambar 2.8.



Gambar 2.8 Aplikasi nanomaterial pada berbagai bidang (Alshammari, dkk, 2016)

2.4 Nano Seng Oksida

Nano seng oksida merupakan material yang memiliki sifat semikonduktur yang memiliki struktur kristal wurtzite seperti pada gambar 2.5. material ini memiliki memiliki nilai *bandgap energy* yang tinggi yaitu 3.07 eV dan *excitation binding energy* yang kuat yaitu 60 meV, dan juga memiliki nilai celah pita yang tinggi angka yang pernah dicapai untuk nilai celah pita yaitu 3.20 eV. Sifat tersebut yang membuat material nano seng oksida sangat baik untuk diterapkan pada berbagai bidang contohnya semikonduktor maupun DSSC (*dye – sensitized solar cells*). Keunggulan dari nanopartikel seng oksida tidak hanya ditinjau dari luasnya aplikasi yang dapat dicakup namun juga kelayakan untuk difabrikasi juga merupakan aspek yang cukup diminati. Berbagai penelitian menunjukkan bahwa nanopartikel ZnO dapat difabrikasi melalui berbagai teknik, mulai dari yang konvensional seperti milling dan metode kimiawi basah, hingga metode fabrikasi yang cukup kompleks seperti *molecular beam epitaxy* dan *chemical vapor deposition* yang membutuhkan teknologi tinggi. Karena struktur kristal yang dimilikinya, nanopartikel ZnO hasil sintesis stabil pada temperatur ruang. Hal ini mendukung kecenderungan nanopartikel ZnO untuk dimanfaatkan lebih lanjut pada berbagai aplikasi.



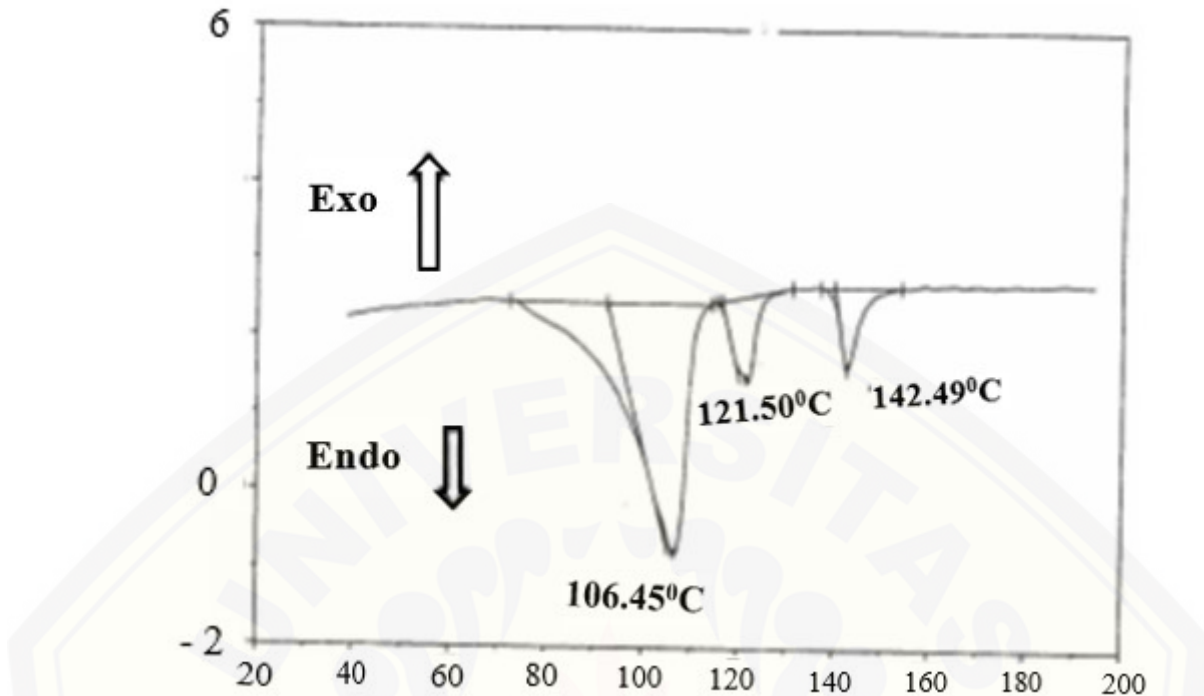
Gambar 2.9 Karakteristik nanopartikel ZnO (Ramahdita, 2011)

2.5 Derajat Kristalinitas

Kristalinitas adalah keadaan struktur molekul yang mangacu pada panjang rentang pola geometrik periodik jarak atom. Dalam kondisi semikristalin polimer seperti polietilena derajat kristalinitas (% kristalinitas) yang dimiliki akan mempengaruhi sifat yang dimiliki seperti tingkat kekauan, kekerasan sifat tahan panas yang dimiliki. Karena derajat kristalinitas memiliki peranan yang penting untuk mengetahui suatu material maka dibutuhkan metode untuk menghitung atau mengukur nilai suatu kristalinitas dari suatu material berikut beberapa metode yang umum digunakan (Crompton, 1993).

2.5.1 Differential Scanning Calorimetry

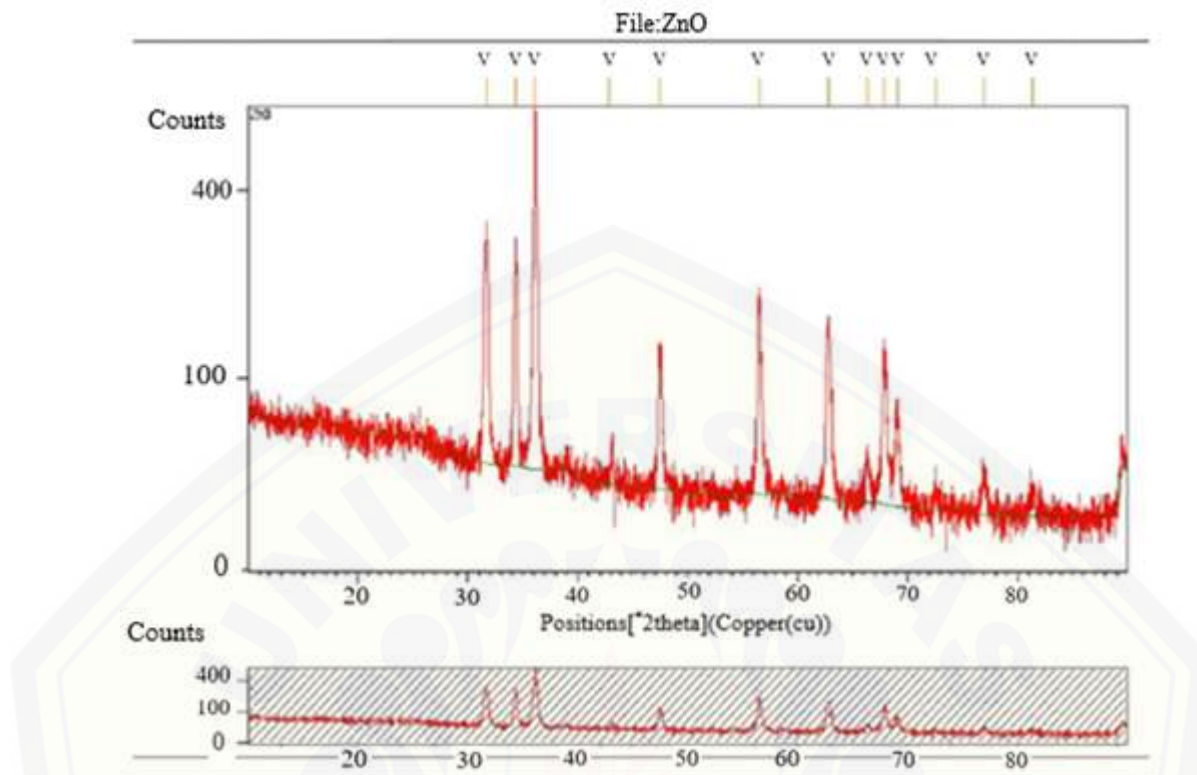
Derajat kristalinitas suatu material dapat diketahui ataupun dihitung nilainya salah satu metode untuk menghitung kristalinitas suatu material yaitu dengan menggunakan *differential scanning calorimetry* prinsip dari metode ini yaitu dengan membagi panas yang diukur dari fusi dengan panas fusi dan 100 material kristalin.



Gambar 2.10 Contoh grafik hasil differential scanning calorimetry (Chang, dkk, 2002)

2.5.2 XRD (X-Ray Diffraction)

Difraksi sinar- x atau yang sering dikenal dengan XRD digunakan untuk mengidentifikasi kristal suatu material umumnya material yang di identifikasi merupakan material dengan fasa solid (padat) prinsip kerja dari XRD dengan mengidentifikasi struktur kristal material dengan membandingkan nilai jarak d (bidang kristal) dan intensitas puncak difraksi dengan data referensi. Sinar-X merupakan radiasi elektromagnetik dengan panjang gelombang sekitar 100 pm yang dihasilkan dari penembakan logam (material) dengan elektron berenergi tinggi. XRD merupakan salah satu dari karakterisasi material nanopartikel yang dapat digunakan untuk mengukur tingkat kristalinitas dari nanomaterial.

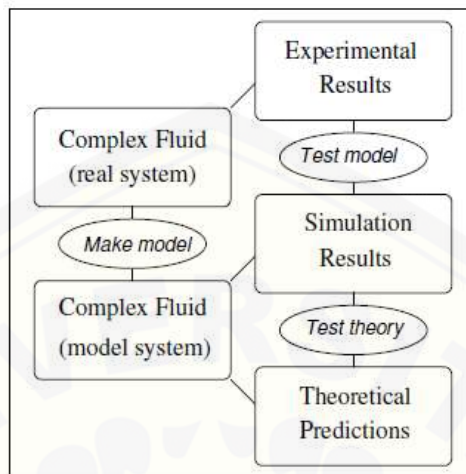


Gambar 2.11 Contoh gambar hasil analisa XRD ZnO (Sholihin, 2016)

2.6 Molekular dinamik

Molekular dinamik merupakan suatu metode yang digunakan untuk mempelajari struktur dari zat padat, cair, maupun gas yang mana interaksi yang terjadi dalam skala mikroskopik. Tujuan dari dilakukannya kajian tentang molekular dinamik yaitu untuk memahami sifat-sifat dan interaksi antar molekul yang terjadi dalam skala mikroskopik sehingga nantinya kajian ini berfungsi sebagai penunjang hasil eksperimen konvensional (Allen, 2004). Dinamika molekul pertama kali dimunculkan oleh Alder dan Wainwright pada tahun 1950, metode ini digunakan untuk mempelajari interaksi pada bola keras. Bermula dari studi tersebut akhirnya mereka memahami tentang sifat cairan secara sederhana. Dan pada tahun 1964, Rahman melakukan simulasi pertama kali menggunakan energi potensial terhadap cairan argon, dan pada tahun 1974 Rahman dan Stillinger melakukan simulasi dinamika molekul dengan menggunakan air dengan maksud

sistem yang digunakan lebih realistik. Hubungan hasil simulasi dan eksperimen dapat dilihat pada gambar 2.8.



Gambar 2.12 Hubungan antara teori, simulasi dan eksperimen (Allen, 2004)

2.6.1 Interaksi Antar Atom

Simulasi dinamika molekuler terdiri dari solusi numerik, langkah demi langkah, dari persamaan gerak klasik, untuk sistem atom sederhana dapat dituliskan dengan persamaan

$$\{m_i \ddot{r}_i = f_i\} \quad (2.1)$$

Persamaan diatas menjelaskan tentang gaya yang berkerja pada atom, sehingga kita dapat menghitung gaya yang sedang berkerja pada sebuah atom. Hal ini bertujuan pada saat sebuah atom diberi energi maka suatu atom akan bergerak dan saling berinteraksi antara satu dengan yang lainnya, dengan menghitung gaya yang berkerja pada saatu atom, kita dapat memahami fenomena pada saat atom tersebut sedang bekerja. Beberapa jenis ikatan antar atom antara lain:

1. Gaya Tarik Menarik (Attractive Forces)

Interaksi ini terjadi pada saat molekul-molekul saling berinteraksi dan pada interaksi tersebut timbul gaya tarik menarik yang mengakibatkan energi potensial yang dimiliki oleh ikatan tersebut menurun.

2. Gaya Tolak Menolak (Repulsive Forces)

Interaksi ini terjadi ketika molekul-molekul yang mempunyai jenis yang sama akan terjadi gaya tolak-menolak akan tetapi energi potensial yang dimiliki oleh ikatan tersebut akan meningkat (Puri dan Babbar, 2001).

2.6.2 Lennard Jones Potensial (LJ)

Lennard Jones Potensial adalah potensial energi yang ditujukan untuk menjelaskan interaksi antar 2 atom netral atau molekul, fungsi empiris LJ menjelaskan tentang energi dispersi pada interaksi antar atom i dengan atom j yang terpisah sejauh r_{ij} , persamaan LJ dapat dituliskan sebagai berikut:

$$V^{LJ}(\vec{r}_1, \dots, \vec{r}_N) = 4\epsilon \left(\left(\frac{\sigma}{r_{ij}} \right)^{12} - \left(\frac{\sigma}{r_{ij}} \right)^6 \right) \quad (2.2)$$

Dimana:

r_{ij} = jarak atom i dengan atom j

V_{lj} = energi dispersi

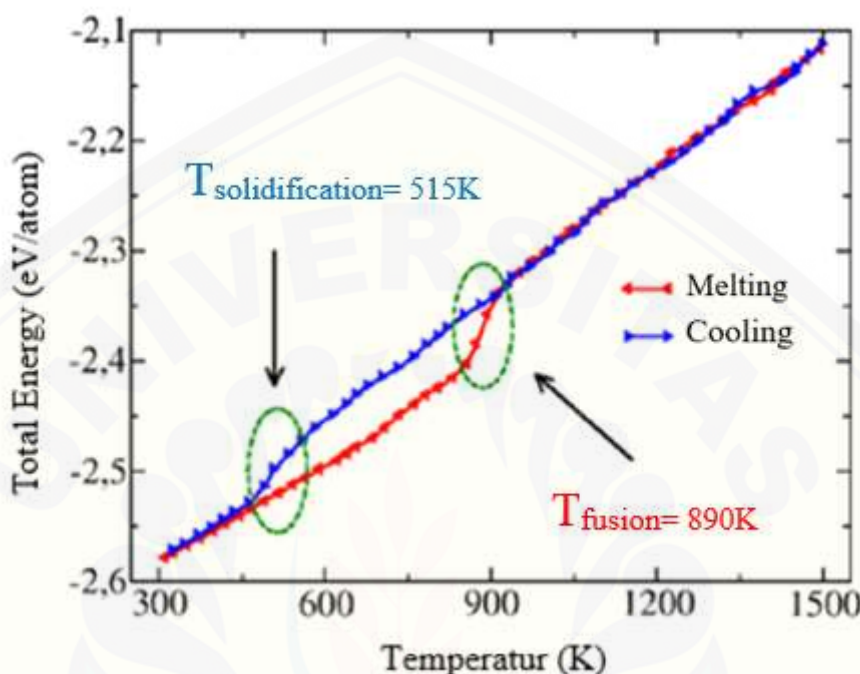
σ = jarak energi interaksi antar partikel

ϵ = Kedalaman potensial

2.7 Laju Temperatur Solidifikasi

Marupakan Temperatur yang berperan dalam proses solidifikasi suatu material dimana dalam sistemnya material akan mengalami transisi fasa dari cair akan berubah menjadi fasa padat. Pada kajian skala nano laju temperatur solidifikasi berperan dalam pembentukan partikel nano selain itu temperatur solidifikasi juga berpengaruh pada tingkat kristalinitas partikel material nano. Menurut (Dianat dan

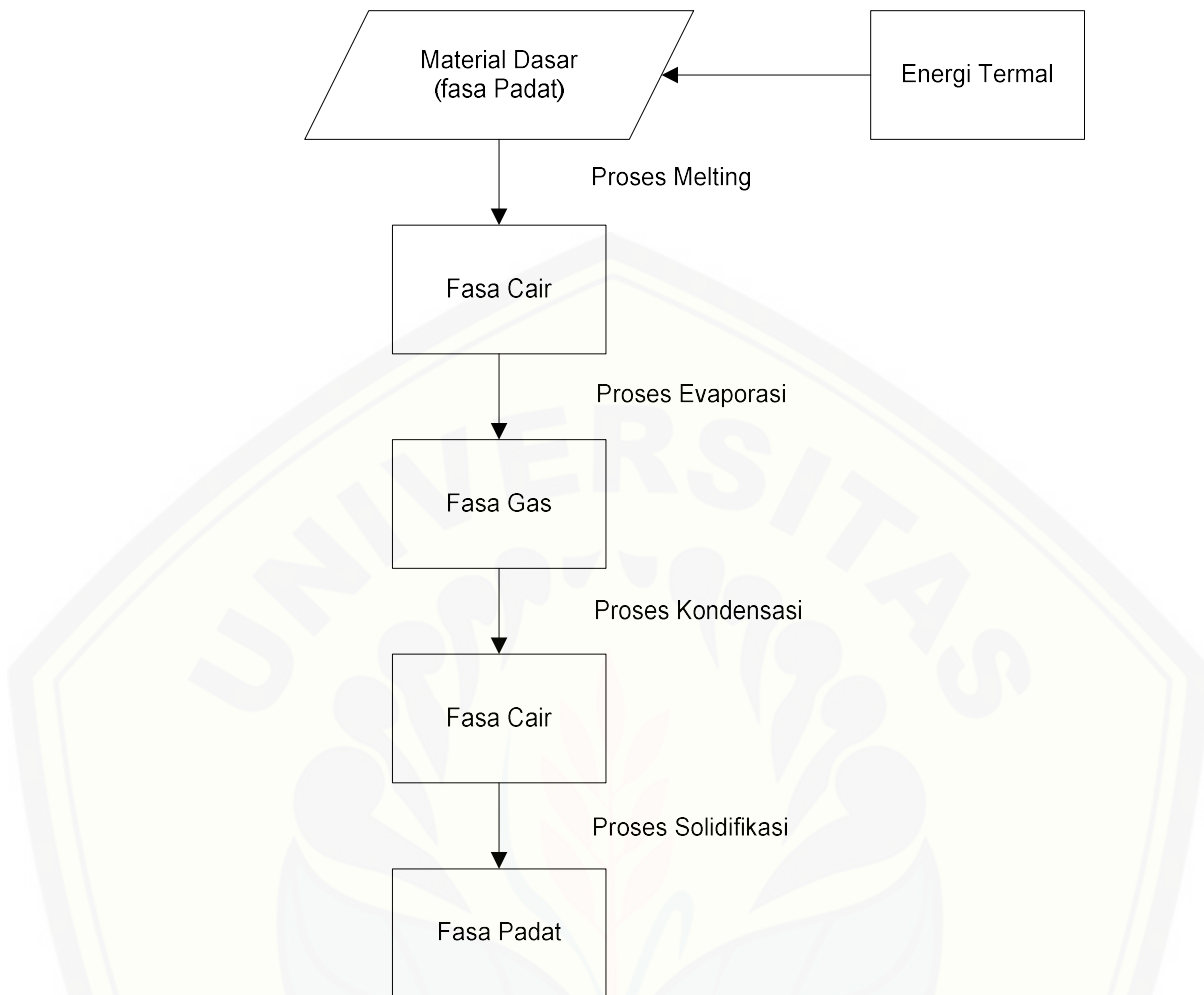
Medrano, 2015) semakin besar nilai laju solidifikasi pada maka material yang dihasilkan akan amorphous dan semakin rendah nilai laju temperatur solidifikasi maka material yang terbentuk akan kristalin.



Gambar 2.13 Grafik temperatur solidifikasi (Dianat dan Medrano, 2015)

2.7.1 Perubahan Fasa pada Pembentukan Nanopartikel

Dalam Pembentukan nanopartikel terdapat beberapa perubahan fasa yang terjadi pada suatu material secara umum perubahan fasa disebabkan karena energi yang diterima oleh suatu material dan energi tersebut menyebabkan terjadinya perubahan fasa seperti ditunjukkan seperti pada gambar 2.14.



Gambar 2.14 Skema perubahan fasa pada pembentukan nanomaterial

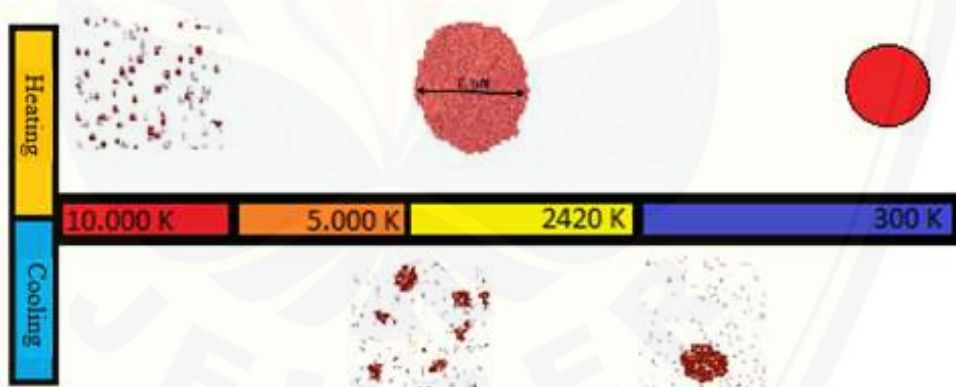
Pada gambar diatas ditunjukkan bahwa pada proses pembentukan nanomaterial terjadi beberapa perubahan fasa dari solid kemudian kembali ke fasa solid. Pada tahap awal perubahan fasa yang terjadi adalah dari fasa padat menuju cair. Menurut (Ahuja, dkk, 1998) proses melting terjadi karena adanya pengaruh temperatur yang semakin tinggi sehingga material mengalami perubahan fasa menjadi cair akibat pergerakan atom material. Hal ini terjadi karena pengaruh energi termal yang diterima oleh material.

Sedangkan Proses penguapan terjadi karena atom-atom material terlepas dari ikatan molekulnya sehingga pada kondisi tersebut dapat dikatakan terjadi proses penguapan dan ditandai dengan berubahnya fasa cair menjadi fasa gas

karena adanya pengaruh energi temperatur yang melebihi batas maksimal ketahanan ikatan antar atom i dan atom j (Suh dan Yasuoka, 2014).

Menurut (Kesälä, dkk, 2007) peristiwa kondensasi pada logam dapat diamati dari tiga peristiwa terpisah yang mungkin terjadi secara bersamaan yaitu nukleasi, pertumbuhan monomer, dan agregasi atau koagulasi. Pada awalnya proses yang mendominasi dan satu-satunya fenomena yang terjadi adalah nukleasi spontan dari uap pada material logam. Sebagai contoh jumlah kluster atom akan meningkat dan juga semakin lama akan semakin membersar dan juga proses ini ditandai dengan perubahan fasa gas menjadi menjadi fasa cair.

Untuk proses solidifikasi material yang berada pada fasa cair setelah mengalami proses kondensasi akan berubah menjadi fasa padat seiring dengan kecilnya temperatur yang dikenakan pada material dan pada proses ini terjadi fenomena pertumbuhan partikel (*grain growth*). yang memungkinkan terbentuknya material dengan ukuran maupun sifat- sifat baru.

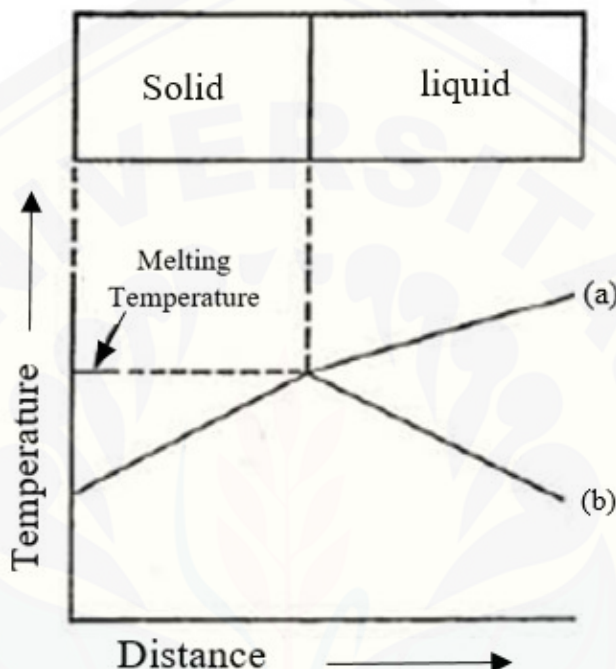


Gambar 2.15 Visualisasi atom pada proses pembentukan nanopartikel

2.8 Solidifikasi Nano Seng Oksida

Beberapa publikasi ilmiah menyatakan bahwa proses solidifikasi pada material logam terdiri dari dua proses utama yaitu nukleasi dan pertumbuhan. Proses ini biasanya diibaratkan seperti terbentuknya bola salju dimana pada saat awal proses material berasal dari material yang kecil kemudian semakin lama akan

semakin besar, begitu pula yang terjadi pada proses solidifikasi logam material berawal dari material kecil kemudian akan terbentuk material yang ukurannya lebih besar. Jika melihat dari konsep solidifikasi tersebut maka akan terdapat nukleus pada setiap material yang berperan sebagai material awal yang akan membentuk material yang lebih besar (Winegard, 1961).



Gambar 2.16 Skema solidifikasi (Winegard, 1961)

Pada solidifikasi nano seng oksida fenomena solidifikasi yang terjadi berlangsung pada skala atom sehingga fenomena tidak dapat diamati dengan mata telanjang. Maka dibutuhkan kajian molekular dinamik untuk dapat mengkaji fenomena solidifikasi nano seng oksida.

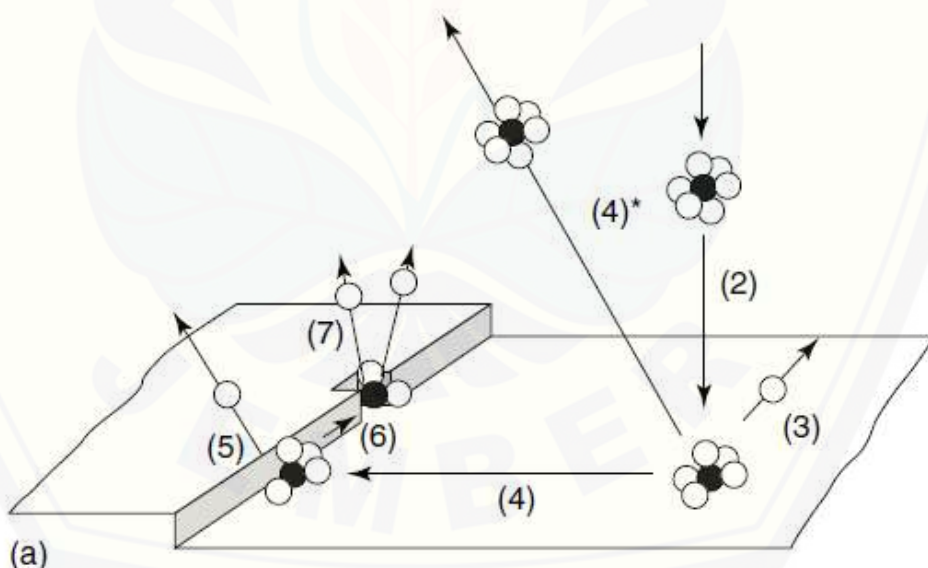
2.9 Pertumbuhan Partikel (*Grain Growth*)

Merupakan fenomena yang terjadi dalam proses solidifikasi nano seng oksida *Grain Growth* dapat di definisikan sebagai rangkaian proses di mana atom atau molekul bergerak menuju permukaan kristal, sehingga menyebabkan

peningkatan ukuran kristal, proses ini dibedakan menjadi 4 langkah antara lain (Cubillas dan Anderson, 2010)

- a. Pengangkutan atom melalui larutan.
- b. Pelekatan atom ke permukaan.
- c. Pergerakan atom.
- d. Pelekatan atom ke tepi dan kekusutan.

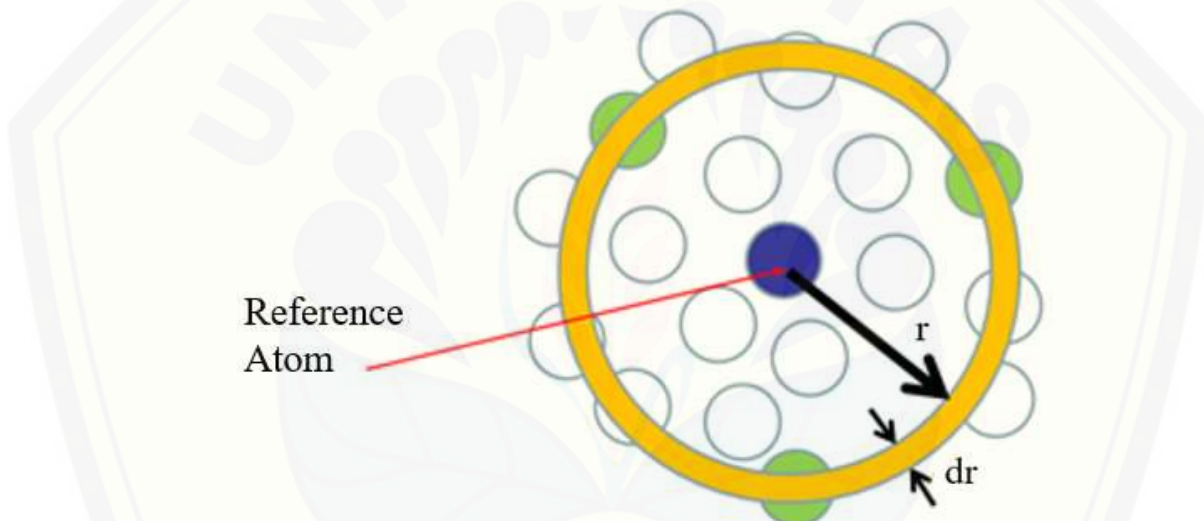
Proses pertama adalah proses pengangkutan yang disebut, sedangkan 2–4 dirujuk sebagai proses permukaan (dan mungkin melibatkan beberapa langkah). Karena ini berbeda langkah-langkah biasanya terjadi secara seri, proses paling lambat akan mengontrol keseluruhan kristal pertumbuhan. Oleh karena itu, pertumbuhan dapat menjadi transportasi (ketika langkah 1 adalah yang paling lambat) atau permukaan terkontrol (ketika langkah 2–4 adalah yang paling lambat). Seperti ditunjukkan pada gambar 2.17.



Gambar 2.17 Skema pertumbuhan partikel (Cubillas dan Anderson, 2010)

2.10 Fungsi Distribusi Radial

Fungsi distribusi radial atau sering dikenal dengan *radial distribution function* merupakan fungsi probabilitas spesifik karena membutuhkan partikel 1 yang berada pada 1 posisi r_1 (tidak ada partikel lain) dan secara bersamaan ada partikel 2 pada posisi r_2 (Chandler, 1986). Fungsi distribusi radial juga dapat diartikan sebagai teknik untuk menggambarkan perubahan kerapatan susunan suatu atom karena adanya pengaruh dari fungsi jarak seperti dijelaskan pada persamaan (Buhler, 2011)



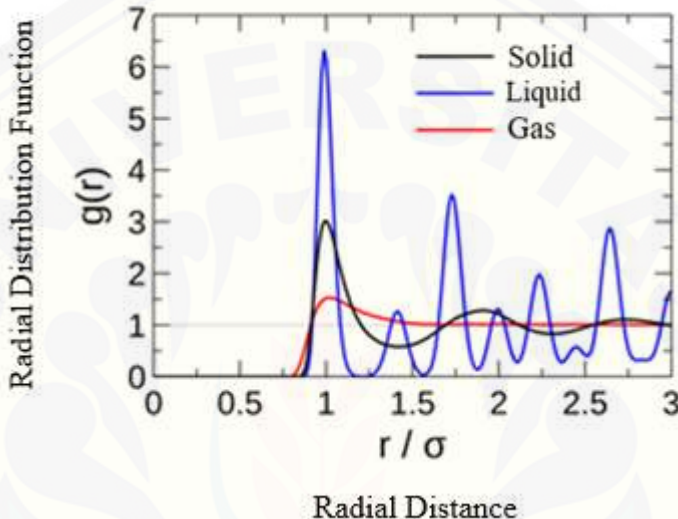
Gambar 2.18 Prinsip dasar perhitungan RDF (J. Buhler, 2011)

Pada kajian simulasi dinamika molekul *radial distribution function* dapat ditentukan dengan menghitung jarak antara semua pasangan partikel dan di masukkan ke dalam histogram, selanjutnya histogram ini dapat menggambarkan susunan partikel pada kondisi dari suatu material (padat, cair dan gas) seperti pada gambar 2.18.

$$\left\{ g(r) = \frac{N(r, \Delta r)}{\frac{1}{2} N \rho V(r, \Delta r)} \right\} \quad (2.3)$$

Dimana :

- ρ = kerapatan atom
- $V(r)$ = volume kulit bola pada jarak r
- $g(r)$ = radial distribution function



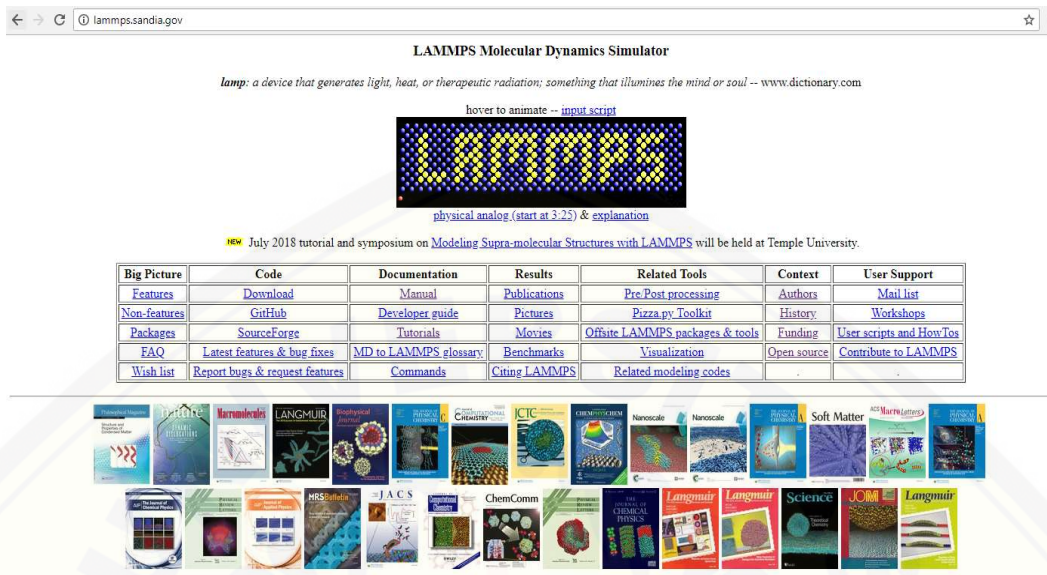
Gambar 2.19 Kondisi padat, cair dan gas pada partikel (J.Buhler, 2011).

2.11 LAMMPS

Merupakan perangkat lunak yang digunakan untuk menjalankan simulasi yang diinginkan, pengembangan LAMMPS dimulai pada pertengahan 1990-an di bawah kerjasama penelitian dan perjanjian pengembangan (CRADA) antara dua laboratorium DOE (Sandia dan LLNL) dan beberapa perusahaan seperti (Cray, Bristol Myers Squibb, dan Dupont). Tujuan kerjasama ini yaitu mengembangkan kode molekular dinamik berskala besar, upaya pengkodean dipimpin oleh steve plimpton di sandia. Setelah CRADA berakhir, versi f77, kemudian LAMMPS 99 dirilis pada tahun 2004. Semenjak pertam perilisan lammps dirilis secara terbuka sebagai kode open sources dan terus dikembangkan hingga saat ini.

Dengan bantuan lammps kita dapat menjalankan simulasi sesuai program (*script*) yang telah dirancang dan hasil simulasi akan muncul yang nantinya dapat

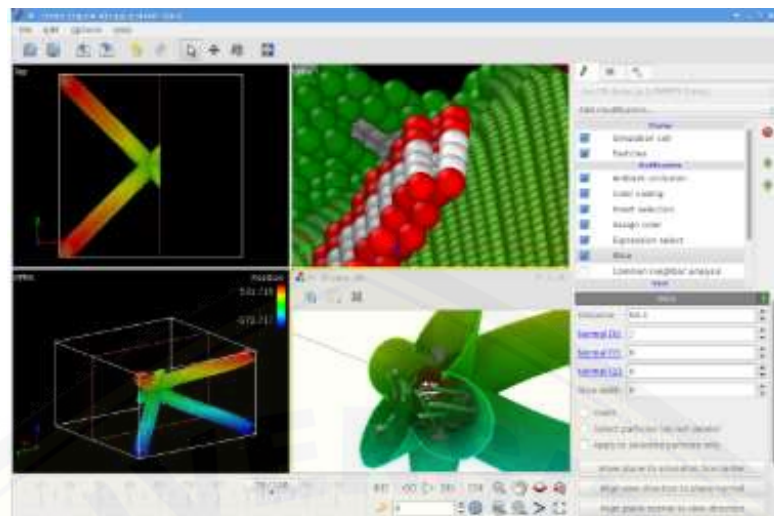
divisualisasikan dengan perangkat lunak visualisasi. Tampilan gambar antarmuka website resmi lammps dapat dilihat pada gambar 2.20.



Gambar 2.20 Tampilan antarmuka website resmi LAMMPS

2.12 OVITO

Adalah perangkat lunak *visualisator* yang digunakan untuk menampilkan gambaran tentang simulasi yang sedang berlangsung, OVITO sedang dikembangkan oleh Alexander Stukowski di Darmstadt University of Technology, Jerman. Program ini bersifat Open Source dan tersedia secara gratis untuk semua platform utama. Ini telah menjabat dalam semakin banyak studi simulasi komputasi sebagai alat yang berguna untuk menganalisis, memahami, dan mengilustrasikan hasil simulasi, contoh tampilan visualisasi OVITO pada gambar 2.21.

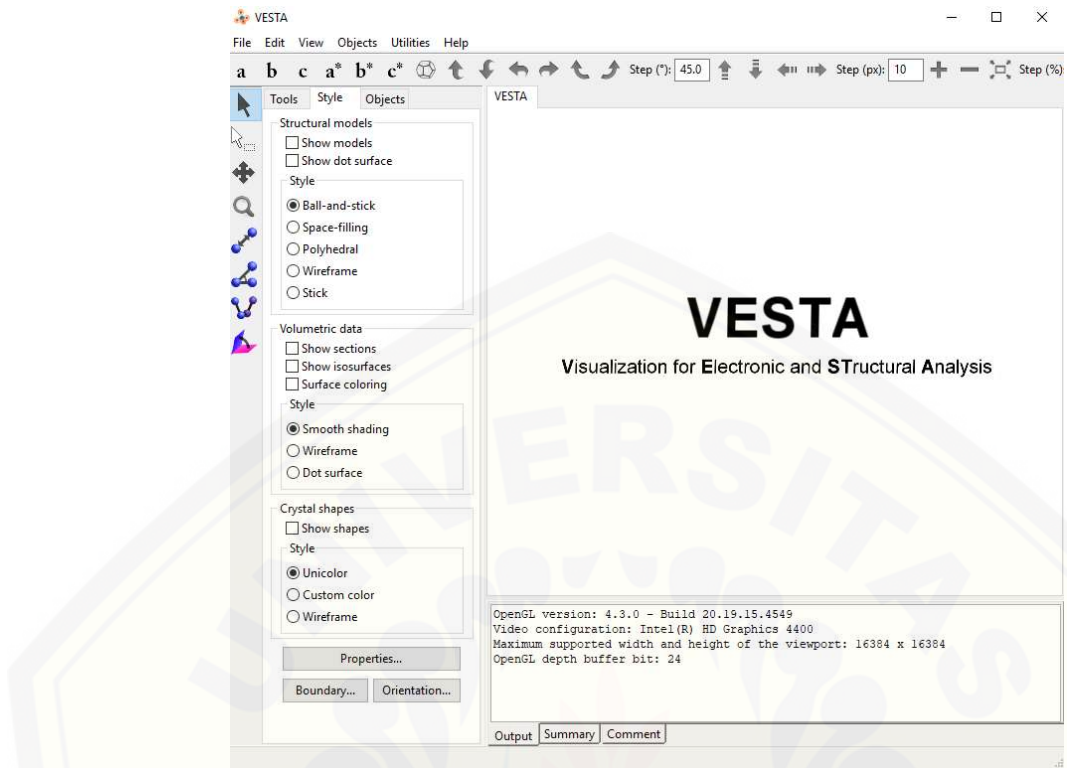


Gambar 2.21 Contoh tampilan visualisasi OVITO

2.13 Vesta-Jp Minerals

Merupakan aplikasi yang digunakan untuk membaca/memvisualisasikan struktur atom awal yang akan digunakan dalam script. VESTA adalah program visualisasi 3D untuk model struktural, data volumetrik seperti elektron / kepadatan nuklir, dan morfologi kristal. Perangkat lunak ini dikembangkan oleh Koichi Momma yang pertama kali dirilis pada tahun 2002 dan terus dikembangkan hingga saat ini.

Dengan menggunakan perangkat lunak ini kita dapat memodifikasi atom serta dapat memvisualisasikan, sebagai contoh kita menjalankan atom ZnO pada perangkat lunak vesta, maka kita dapat memodifikasi atom tersebut sesuai keinginan kita sebagai contoh kita dapat memperbanyak jumlah atom yang dimiliki tanpa merubah struktur awal atom. Perangkat lunak ini merupakan serangkaian perangkat lunak yang dibutuhkan untuk menunjang dalam melaksanakan simulasi solidifikasi nano seng oksida.



Gambar 2.22 Tampilan antarmuka perangkat lunak VESTA

BAB 3. METODOLOGI PENELITIAN

3.1 Metode Penelitian

Metode yang digunakan untuk menganalisis pengaruh laju Temperatur solidifikasi terhadap ukuran kristalinitas pada proses solidifikasi nano seng oksida (ZnO) yaitu menggunakan simulasi dinamika molekular. Dibutuhkan beberapa komponen penunjang berupa perangkat lunak komputer yang mendukung pembentukan simulasi dan visualisasi proses. Komponen penunjang tersebut adalah perangkat lunak, VESTA, LAMMPS dan OVITO.

3.2 Waktu dan Tempat

Pelaksanaan penelitian dilakukan di laboratorium Teknologi Terapan Jurusan Teknik Mesin, Fakultas Teknik, Universitas Jember. Penelitian ini dilakukan semester genap 2018 dan semester ganjil 2018.

3.3 Alat dan Bahan

Alat yang digunakan pada penelitian ini yaitu laptop Toshiba dengan prosessor core i5, 64 bit dan Ram 4 Gb yang telah *diinstall* microsoft office, VESTA, LAMMPS dan OVITO pada sistem operasi Windows 10.

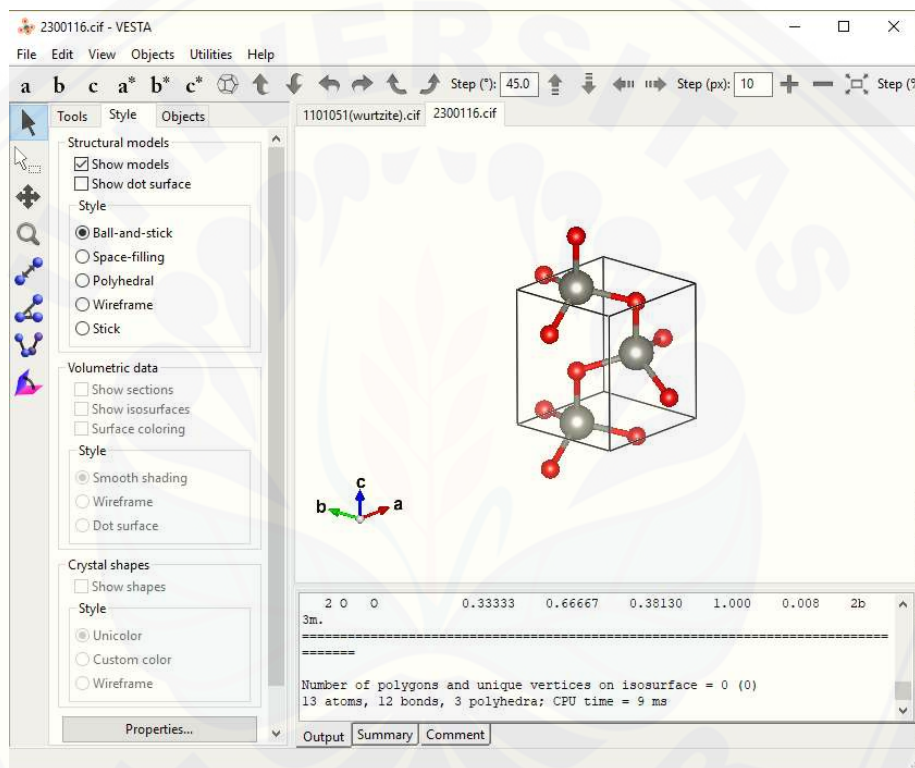
3.4 Prosedur Penelitian

Adapun tahapan yang dilakukan untuk melakukan simulasi dinamika molekular adalah sebagai berikut.

3.4.1 Prosedur Pembuatan Read Data

Sebelum program simulasi dibuat maka langkah pertama yang harus dilakukan adalah membuat read data yang berfungsi sebagai identitas struktur atau material yang akan disimulasikan. Tahapan yang dilakukan pada pembuatan read data adalah sebagai berikut:

- a. Pastikan perangkat komputer sudah diinstal dengan perangkat lunak VESTA-jp Minerals.
- b. Mengunduh database strukutur kristal seng oksida (wurtzite). Database dapat di akses di <http://www.crystallography.net/cod/>. Berkas yang di unduh akan memiliki ekstensi “.cif”.
- c. Jalankan berkas yang sudah di unduh pada perangkat lunak VESTA, tampilan pada saat menjalankan seperti pada gambar 3.1.



Gambar 3.1 Tampilan visualisasi pada program VESTA.

- d. Atur Jumlah atom pada menu Edit, Edit data, Phase, Unit cell, Transform kemudian ganti angka berderet seperti gambar 3.2 dengan angka yang ditentukan.

Transformation matrix			
Rotation matrix P			Origin shift p
1	0	0	0.000000
0	1	0	0.000000
0	0	1	0.000000

[View General Positions](#)

[Initialize current matrix](#)

Gambar 3.2 Matriks transformasi

- e. Klik, ok
- f. Kemudian, eksport berkas pada menu File, Export data menjadi ekstensi “VASP(POSCAR:*,vasp)”.
- g. Jalankan berkas yang sudah memiliki ekstensi “VASP(POSCAR:*,vasp)” pada ovito, kemudian ubahlah ekstensi berkas pada menu File, Export file. Ubah ekstensi file menjadi ekstensi “LAMMPS Data File”.
- h. Read data dapat digunakan pada script.

3.4.2 Pembuatan Script

Hal yang harus diperhatikan pada pembuatan *script* yaitu berkas potensial atau read data harus dipersiapkan (dapat digunakan). Adapun tahapan untuk pembuatan *script* adalah sebagai berikut:

- a. Identifikasi masalah yang akan disimulasikan, contoh batas suhu yang digunakan, data-data yang akan dimunculkan serta visualisasi yang akan dimunculkan.
- b. Pastikan Potensial atau read data yang akan digunakan sudah tersedia.
- c. Masukkan massa Zn dan O.
- d. Masukkan parameter – parameter setting atom (massa atom, units material, boundary, lattice, dll).
- e. Setelah, selesai pada setting atom selanjutnya pada bagian proses simulasi pada bagian ini kita memasukkan perintah seperti Temperatur untuk mengatur suhu yang digunakan, *compute* untuk menghitung keluaran data, *dump* sebagai data

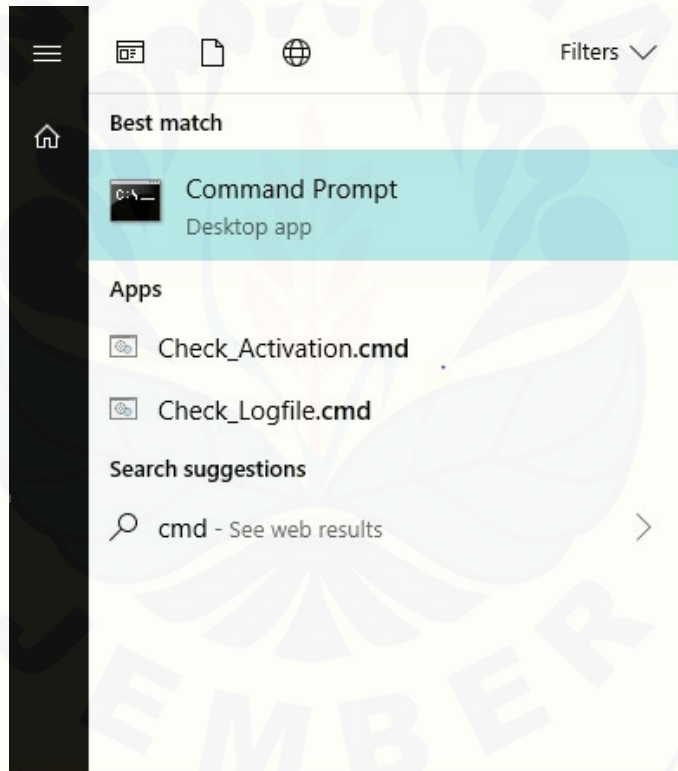
visualisasi yang dapat digunakan sebagai visualisasi dan banyak perintah lainnya .

- f. Selanjutnya simpan file dengan format *file .IN File*.

3.4.3 Menjalankan Simulasi LAMMPS

Berikut langkah menjalankan simulasi dengan menggunakan LAMMPS pada sistem operasi windows :

- a. Buka CMD atau *Command Prompt* (klik **Start**, all apps, Windows System, Command Prompt). Dapat juga dengan cara tulis cmd pada menu pencarian.



Gambar 3.5 Menu *Command Prompt*

- b. Buka berkas program dengan menggunakan perintah melalui *Command Prompt*.



```
Microsoft Windows [Version 10.0.17134.471]
(c) 2018 Microsoft Corporation. All rights reserved.

C:\Users\Novelbagas>e:
E:\>cd script
E:\$Script>cd my project/Zno/last
E:\$Script\$my project\$Zno\$LAST>
```

Gambar 3.6 Membuka lokasi berkas melalui *Command Prompt*

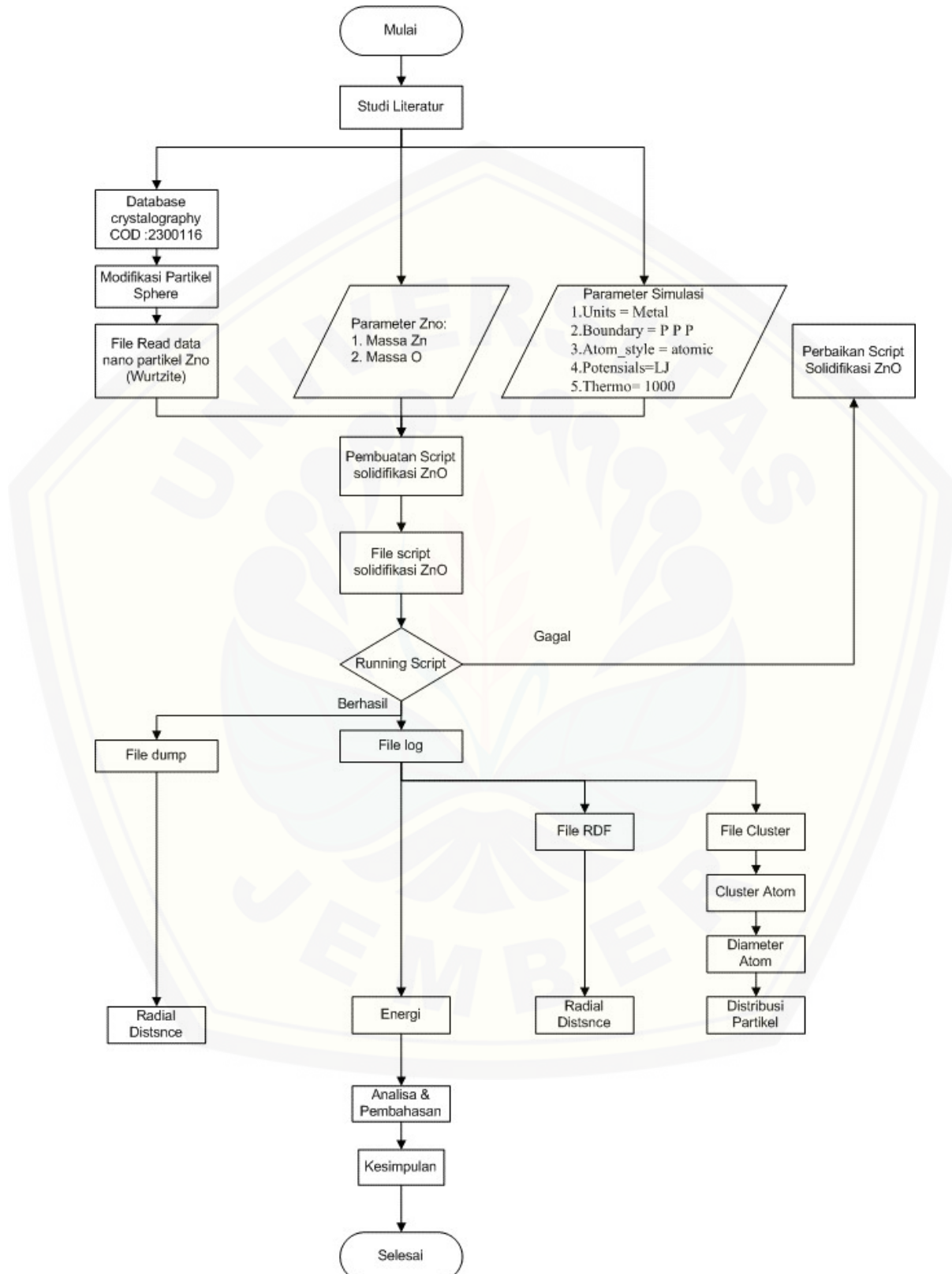
- c. Jalankan file dengan perintah (lmp_serial.exe –in “Nama file”), kemudian tunggu hingga proses selesai.
- d. Tunggu Proses simulasi hingga selesai.
- e. Setelah proses simulasi selesai maka akan muncul “log.lammps”, berkas ini berisi data dari simulasi yang telah di jalankan yang nantinya akan di analisa dan juga akan muncul berkas “dump.nama file” yang akan digunakan pada proses visualisasi.

3.4.4 Menjalankan Visualisasi OVITO

Cara Menjalankan Visualisasi solidifikasi nano seng oksida dengan menggunakan perangkat lunak OVITO adalah sebagai berikut.

- a. Buka aplikasi Ovito
- b. Buka file “Dump” hasil simulasi dengan cara (File, Load file, Pilih File dump, ok). Kemudian jalankan visualisasi.

3.5 Diagram Alir Penelitian



Gambar 3.7 Diagram alir penelitian

BAB 5. PENUTUP

5.1 Kesimpulan

Berdasarkan hasil penelitian pada pengaruh laju temperatur solidifikasi terhadap kristalinitas nano seng oksida menggunakan simulasi molekular dinamika maka dapat disimpulkan:

1. Pada hasil pengaruh laju temperatur solidifikasi terhadap kristalinitas nano seng oksida di dapat data fungsi distribusi radial (RDF) yang menunjukkan bahwa semakin besar nilai laju temperatur solidifikasi maka tingkat kristalinitas nano seng oksida akan semakin menurun hal ini dibuktikan pada hasil RDF. Pada variasi 10^{10} K/s *peak* sekitar 1.800.000, variasi laju 10^{11} K/s menghasilkan *peak* 22.000 dan pada variasi 10^{12} K/s menghasilkan *peak* pada angka 8.000.
2. Diperoleh hasil pertumbuhan kluster nano seng oksida dengan diameter awal solidifikasi sebesar 3,318 nm dan menghasilkan ukuran akhir partikel sebesar 3,394 nm menggunakan laju 10^{10} K/s, 3,351 nm dengan laju 10^{11} K/s, sedangkan menggunakan laju 10^{12} K/s menghasilkan partikel sebesar 3.17 nm.
3. Berdasarkan analisa distribusi partikel solidifikasi nano seng oksida dapat disimpulkan semakin besar nilai temperatur solidifikasi maka distribusi partikel akan semakin menurun.
4. Visualisasi dari simulasi dinamika molekul pada partikel material nano seng oksida dengan menggunakan laju temperatur solidifikasi sebesar 10^{10} K/s, 10^{11} K/s dan 10^{12} K/s berhasil menggambarkan serta menjelaskan fenomena yang terjadi pada proses solidifikasi nano seng oksida yang ditandai dengan munculnya proses rekombinasi atom yang dibuktikan melalui hasil visualisasi dan data hasil simulasi.

5.2 Saran

Dari hasil penelitian mengenai pengaruh laju temperatur solidifikasi terhadap kristalinitas nano seng oksida dengan metode simulasi molekular dinamik, maka disarankan sebagai berikut:

1. Dibutuhkan komputer dengan spesifikasi yang tinggi untuk menjalankan simulasi molekular dinamik agar simulasi yang dijalankan lebih cepat (efisien) dan mendapatkan kondisi-kondisi sesuai kajian eksperimental.
2. Diperlukan kajian mendalam tentang simulasi molekular dinamik mengingat hasil dari simulasi sangat membantu proses eksperimental.
3. Diperlukan kajian eksperimental agar hasil simulasi dapat dimanfaatkan.

DAFTAR PUSTAKA

- Ahuja, R., Belonoshko, A. B. dan Johansson, B. r. 1998. Melting and liquid structure of aluminum oxide using a molecular-dynamics simulation. PHYSICAL REVIEW E, Volume 57: No 2.
- Alshammari, A., Kalevaru, V. N. dan Martin, A. 2016. Metal Nanoparticles as Emerging Green Catalysts. London, Intech
- Bharathi, A. K. dan Duin, A. V. 2010. Analysis Of The Thermal Properties Of Zinc Oxide Using The Reaxff Reactive Force Field. *thesis*, Pennsylvania, Mechanical Engineering, The Pennsylvania State University.
- Buhler, M. J. (2011). *Introduction to modeling and simulation* Vol. 4.
- Carruthers, J. 2006. Fabrication and Characterization of Nanomaterials. Portland, Physics Department, Portland State University.
- Carter, C. B. dan Norton, M. G. 2013. Ceramic Materials: Science and Engineering. New York, Springer
- Chandler, D. 1986. Introduction to modern statistical. New York, Oxford University Press
- Chang, Y., Hsieh, J., Wang, C. dan Hong, L. 2002. A Differential Scanning Calorimetry (DSC) Study on The Pyrolysis Mechanism of Zinc Oxide CVD Precursor, Zinc Acetylacetone. Mat. Res. Soc. Symp. Proc., Vol. 744: 581-586.
- Crompton, T. R. (1993). Degree Of Crystallinity And Melting Temperature *Practical Polymer Analysis*. New York: Plenum Press.
- Cubillas, P. dan Anderson, M. W. 2010. Zeolites and Catalysis, Synthesis, Reactions and Applications. Germany, WILEY-VCH Verlag GmbH & Co. KGaA, Weinheim
- Dianat, A. dan Medrano, L. 2015. Computersimulation in der Materialwissenschaft. Germany, Institut für Werkstoffwissenschaft
- Dolez, P. I. 2015. Nanoengineering: Global Approaches To Health And Safety Issues. usa, elsvier
- Hu, M., Poulikakos, D., Grigoropoulos, C. P. dan Pan, H. 2010. Recrystallization of picosecond laser-melted ZnO nanoparticles in a liquid: A molecular dynamics study. THE JOURNAL OF CHEMICAL PHYSICS, 182, (1): 164504.
- Jayadevan, K. P. dan Tseng, T. Y. 2004. Oxide Nanoparticles. Encyclopedia of Nanoscience and Nanotechnology, Volume 8: 333-376.
- Kesälä, E., Kuronen, A. dan Nordlund, K. 2007. Molecular dynamics simulation of pressure dependence of cluster growth in inert gas condensation. PHYSICAL REVIEW B, 75: 174121.
- Morkoç, H. dan Özgür, Ü. 2008. **Zinc Oxide** Fundamentals, Materials and Device Technology. USA, Wiley-VCH
- Poole, C. P. dan Owens, F. J. 2003. Introductions To Nanotechnology. New Jersey, John Wiley & Sons, inc

- Ramahdita, G. 2011. Karakterisasi Nanopartikel Zno Hasil Sintesis Dengan Metode Presipitasi Dan Perlakuan Pra-Hidrotermal. Depok, Teknik Metalurgi Dan Material, Universitas Indonesia.
- Ramsden, J. J. 2010. Nanotechnology An Introductions. Cranfield, Elsevier
- Savka, S. S., Popovych, D. I. dan Serendnytski, A. S. 2017. Molecular Dynamics Simulations of the Formation Processes of Zinc Oxide Nanoclusters in Oxygen Environment. Springer Proceedings in Physics, 195:
- Sholahuddin, I. 2014. Peningkatan Unjuk Kerja Nanogenerator Zno Berbasis Serat Nano Melalui Penumbuhan Nanowire Pada Permukaan Serat. *Penelitian Dosen pemula*, Jember, Teknik Mesin, Universitas Jember.
- Sholihin, A. 2016. Sintesis Dan Karakterisasi Nanopartikel Seng Oksida Metode Direct Current Thermal Plasma. Jember, Jurusan Teknik Mesin, Universitas Jember.
- Suh, D. dan Yasuoka, K. 2014. Nanoscale Droplet Vaporisation By Molecular Dynamics. Proceedings Of The 3RD International Conference On Molecular Simulations:
- Winegard, W. C. 1961. Fundamental Of The Solidification Of Metals.

LAMPIRAN

Lampiran A. log *script* menggunakan dengan laju temperatur solidifikasi 10^{10} K/s

Step Temp PotEng Atoms Density

110000	8722.6594	-8433.7995	5806	0.68958435
111000	8647.6024	-8367.9691	5806	0.6725086
112000	8687.0226	-8372.5341	5806	0.65556514
113000	8719.157	-8357.6416	5806	0.63915828
114000	8728.4181	-8319.3646	5806	0.62324595
115000	8852.555	-8372.4221	5806	0.60780148
116000	8896.8645	-8369.3209	5806	0.59282104
117000	8955.5178	-8381.7243	5806	0.57830093
118000	8942.8999	-8340.2194	5806	0.56420868
119000	8938.2317	-8301.4363	5806	0.55053988
120000	9032.3947	-8336.6449	5806	0.53700948
121000	8976.6331	-8257.652	5806	0.52381338
122000	9078.2156	-8294.6087	5806	0.51102127
123000	9077.6178	-8258.3039	5806	0.49789005
124000	9124.9986	-8260.9825	5806	0.48503218
125000	9141.8676	-8237.535	5806	0.47258482
126000	9127.6171	-8197.2135	5806	0.46029098
127000	9152.6099	-8185.4524	5806	0.44823932
128000	9142.5104	-8151.7973	5806	0.43658611
129000	9176.3207	-8152.3439	5806	0.42532581
130000	9066.022	-8049.7375	5806	0.41443167
131000	9128.3379	-8078.7385	5806	0.40389676
132000	9210.2448	-8126.0636	5806	0.39222936
133000	9198.6619	-8106.7883	5806	0.38100747
134000	9261.691	-8150.5947	5806	0.37023687

135000	9270.892	-8161.4561	5806	0.35986862
136000	9181.4547	-8102.9196	5806	0.34987539
137000	9104.1778	-8062.4539	5806	0.34026488
138000	9038.6881	-8037.9139	5806	0.33103395
139000	9051.8718	-8077.8015	5806	0.32215348
140000	9010.1945	-8083.0526	5806	0.31360683
141000	8914.3631	-8046.5176	5806	0.30538246
142000	8760.4681	-7968.1688	5806	0.29747516
143000	8747.4704	-7996.4049	5806	0.28987025
144000	8683.048	-7987.5873	5806	0.28255337
145000	8750.5987	-8076.3472	5806	0.27550306
146000	8769.9376	-8131.3959	5806	0.26870097
147000	8749.9044	-8157.8899	5806	0.2621464
148000	8669.4783	-8141.1021	5806	0.25581995
149000	8670.483	-8186.0648	5806	0.24971337
150000	8612.2783	-8188.6615	5806	0.24382661
151000	8652.9329	-8265.2468	5806	0.23815359
152000	8655.0185	-8314.8711	5806	0.2326794
153000	8563.8165	-8294.5712	5806	0.22739255
154000	8537.5459	-8323.8273	5806	0.22228458
155000	8416.3966	-8282.2	5806	0.21734937
156000	8408.3991	-8327.9881	5806	0.21257832
157000	8479.0112	-8434.147	5806	0.20796912
158000	8436.0388	-8454.8015	5806	0.20351574
159000	8343.7713	-8440.1512	5806	0.19920446
160000	8335.4305	-8489.3853	5806	0.19503124
161000	8300.1482	-8521.0756	5806	0.19099163
162000	8306.6453	-8584.0927	5806	0.18708261

163000	8261.658	-8609.8596	5806	0.18329667
164000	8241.0753	-8655.214	5806	0.17962873
165000	8186.6517	-8672.8596	5806	0.17607705
166000	8153.4859	-8708.0564	5806	0.17263848
167000	8146.8301	-8764.6048	5806	0.16930328
168000	8059.6998	-8764.1179	5806	0.16606605
169000	7999.7425	-8784.4217	5806	0.1629247
170000	7981.2524	-8833.6378	5806	0.15987762
171000	7921.85	-8854.4983	5806	0.15692172
172000	7912.925	-8913.1799	5806	0.15405674
173000	7861.7158	-8936.9938	5806	0.15127757
174000	7820.6159	-8973.0791	5806	0.14858131
175000	7817.8876	-9039.4332	5806	0.1459609
176000	7790.4509	-9086.5729	5806	0.14340982
177000	7671.3889	-9065.9295	5806	0.14092474
178000	7608.2539	-9087.6324	5806	0.13850825
179000	7620.5626	-9167.2968	5806	0.13606982
180000	7598.3766	-9220.7308	5806	0.1336619
181000	7552.2104	-9259.5872	5806	0.13132395
182000	7555.0508	-9336.725	5806	0.1290542
183000	7532.1486	-9393.6356	5806	0.12685019
184000	7527.0477	-9467.1541	5806	0.12439288
185000	7480.5252	-9511.9142	5806	0.12197034
186000	7457.2032	-9575.4185	5806	0.11962702
187000	7511.2933	-9697.7648	5806	0.11735978
188000	7507.2007	-9776.8571	5806	0.11516592
189000	7429.4126	-9803.6746	5806	0.11304273
190000	7379.4827	-9850.9703	5806	0.11098686

191000	7322.0636	-9893.278	5806	0.10899558
192000	7340.4982	-9994.0189	5806	0.10706709
193000	7316.7865	-10065.041	5806	0.10519902
194000	7244.3584	-10099.118	5806	0.10338889
195000	7217.5561	-10166.119	5806	0.10163457
196000	7134.5997	-10192.059	5806	0.099933985
197000	7082.9696	-10243.78	5806	0.098284724
198000	7079.5275	-10333.241	5806	0.096684981
199000	7008.0862	-10373.178	5806	0.095132904
200000	7009.5707	-10464.373	5806	0.09362668
201000	6960.2911	-10519.454	5806	0.092164926
202000	6950.9881	-10607.732	5806	0.090745904
203000	6932.9047	-10690.938	5806	0.089368041
204000	6976.13	-10820.421	5806	0.088030346
205000	6845.5157	-10824.305	5806	0.086730992
206000	6870.6554	-10942.193	5806	0.085469137
207000	6871.4362	-11041.557	5806	0.084243529
208000	6814.3167	-11101.19	5806	0.08305294
209000	6798.3811	-11192.796	5806	0.081895772
210000	6731.0226	-11247.29	5806	0.080770935
210000	6731.0226	-11247.29	5806	0.080770935
211000	6844.8007	-11357.927	5806	0.079672815
212000	6852.5001	-11420.362	5806	0.078598399
213000	6883.1893	-11510.318	5806	0.077549467
214000	6844.7505	-11539.027	5806	0.076524899
215000	6837.7363	-11596.726	5806	0.075524177
216000	6819.0755	-11657.267	5806	0.074547703
217000	6771.0104	-11698.269	5806	0.073595012

218000	6824.0771	-11820.9	5806	0.072665587
219000	6767.2164	-11864.471	5806	0.071759015
220000	6733.9468	-11925.379	5806	0.070874909
221000	6631.5046	-11936.019	5806	0.070012577
222000	6585.1802	-11987.413	5806	0.069171442
223000	6497.9845	-12008.168	5806	0.068350911
224000	6494.2158	-12095.521	5806	0.06755044
225000	6482.9579	-12178.529	5806	0.066769281
226000	6442.8196	-12243.45	5806	0.066007162
227000	6449.2307	-12345.561	5806	0.065263577
228000	6406.5359	-12410.556	5806	0.064538294
229000	6398.7427	-12504.448	5806	0.063831044
230000	6334.3058	-12556.762	5806	0.063140905
231000	6289.7213	-12622.396	5806	0.062467065
232000	6265.4279	-12700.564	5806	0.061809275
233000	6238.3692	-12780.293	5806	0.061167278
234000	6236.7015	-12878.898	5806	0.060540836
235000	6205.8154	-12958.054	5806	0.059926891
236000	6224.8035	-13074.408	5806	0.059297805
237000	6194.0204	-13153.619	5806	0.058684063
238000	6167.4847	-13239.446	5806	0.058085232
239000	6076.7091	-13275.246	5806	0.057501046
240000	6106.6345	-13402.022	5806	0.056931026
241000	6011.3346	-13433.415	5806	0.056374726
242000	5932.1839	-13475.014	5806	0.055831595
243000	5836.3577	-13502.329	5806	0.05530123
244000	5796.2783	-13573.899	5806	0.054783084
245000	5776.771	-13658.812	5806	0.054277105

246000	5761.397	-13748.292	5806	0.053782733
247000	5780.4803	-13861.269	5806	0.053299749
248000	5717.8758	-13917.374	5806	0.052827923
249000	5741.2157	-14038.546	5806	0.052366924
250000	5747.7773	-14148.035	5806	0.051916278
251000	5687.3761	-14204.773	5806	0.051475897
252000	5611.3822	-14247.6	5806	0.051045452
253000	5569.8053	-14318.887	5806	0.050624898
254000	5568.3826	-14420.884	5806	0.050213746
255000	5535.0305	-14500.777	5806	0.049811704
256000	5491.2032	-14571.884	5806	0.049418656
257000	5461.7873	-14653.292	5806	0.049034314
258000	5481.0974	-14772.02	5806	0.048658424
259000	5543.31	-14925.525	5806	0.048290863
260000	5489.1144	-14989.496	5806	0.047931463
261000	5432.063	-15049.853	5806	0.047579875
262000	5302.301	-15052.932	5806	0.047235967
263000	5242.3631	-15108.245	5806	0.046899571
264000	5229.5748	-15198.565	5806	0.046570205
265000	5223.9899	-15295.113	5806	0.046247782
266000	5199.2318	-15381.883	5806	0.045932338
267000	5166.1026	-15459.639	5806	0.045623488
268000	5247.0458	-15622.069	5806	0.045321245
269000	5163.4155	-15662.678	5806	0.045025602
270000	5164.3796	-15765.933	5806	0.044736226
271000	5092.9962	-15812.352	5806	0.044452862
272000	5102.0924	-15923.526	5806	0.044175541
273000	5004.2688	-15950.585	5806	0.043904029

274000	4881.8914	-15954.082	5806	0.04363805
275000	4944.5919	-16098.698	5806	0.043377596
276000	4929.6853	-16188.563	5806	0.043122431
277000	4895.0536	-16261.351	5806	0.042872505
278000	4890.9132	-16361.422	5806	0.042627754
279000	4875.6591	-16453.334	5806	0.042387911
280000	4838.9659	-16527.104	5806	0.042152968
281000	4768.4601	-16572.431	5806	0.041922855
282000	4697.5946	-16616.754	5806	0.04169736
283000	4720.4655	-16732.64	5806	0.041476451
284000	4655.3689	-16778.596	5806	0.041259961
285000	4658.4766	-16877.379	5806	0.041047897
286000	4615.6416	-16940.836	5806	0.040840082
287000	4519.3039	-16963.66	5806	0.040636308
288000	4561.8472	-17091.977	5806	0.040436497
289000	4454.9412	-17107.073	5806	0.040240635
290000	4456.2599	-17201.32	5806	0.040048757
291000	4523.9649	-17347.174	5806	0.03986071
292000	4392.0276	-17344.674	5806	0.039676315
293000	4452.8532	-17488.695	5806	0.039495563
294000	4388.7521	-17537.758	5806	0.039318328
295000	4426.6132	-17666.037	5806	0.039144634
296000	4330.5603	-17690.936	5806	0.038974373
297000	4313.4712	-17773.617	5806	0.038807354
298000	4294.5395	-17852.438	5806	0.038643558
299000	4245.063	-17908.157	5806	0.03848299
300000	4197.9202	-17964.371	5806	0.038325574
301000	4175.2944	-18041.474	5806	0.038171228

302000	4241.1531	-18189.45	5806	0.038019837
303000	4195.5388	-18250.426	5806	0.037871322
304000	4168.8476	-18324.777	5806	0.037725782
305000	4128.5022	-18386.814	5806	0.037583103
306000	4008.5477	-18389.273	5806	0.037443115
307000	3982.295	-18458.176	5806	0.037305843
308000	4012.7829	-18569.946	5806	0.037171149
309000	3935.5902	-18603.844	5806	0.037039119
310000	3986.039	-18735.164	5806	0.036909643
311000	2728.1967	-22238.002	5806	0.029411746
312000	2625.79	-22980.155	5806	0.025948564
313000	2636.9267	-23512.901	5806	0.023328607
314000	2596.902	-23902.137	5806	0.021313528
315000	2591.9798	-24193.312	5806	0.019661273
316000	2522.8959	-24325.191	5806	0.018251847
317000	2485.5584	-24447.005	5806	0.016961302
318000	2469.9566	-24603.747	5806	0.015384013
319000	2496.5252	-24858.347	5806	0.014007214
320000	2441.1304	-25055.654	5806	0.012862113
321000	2440.361	-25317.327	5806	0.011887706
322000	2444.1375	-25531.433	5806	0.010963538
323000	2372.9854	-25651.173	5806	0.01001924
324000	2331.11	-25730.291	5806	0.0092150122
325000	2340.8448	-25771.713	5806	0.0085165698
326000	2323.5915	-25719.681	5806	0.0078947009
327000	2286.5235	-25881.98	5806	0.0073487807
328000	2278.8095	-25926.455	5806	0.006760934
329000	2274.7411	-25912.043	5806	0.0062137518

330000	2253.9432	-25980.445	5806	0.0057349526
331000	2204.2853	-26049.308	5806	0.0053098171
332000	2166.3224	-26024.002	5806	0.0049318937
333000	2127.8027	-26118.245	5806	0.0045968359
334000	2062.1145	-26141.872	5806	0.0042951683
335000	2071.5095	-26172.032	5806	0.0040243613
336000	2086.5387	-26226.699	5806	0.003777583
337000	2094.7009	-26298.513	5806	0.0035537285
338000	2042.2034	-26305.63	5806	0.0033496771
339000	1989.1905	-26326.353	5806	0.0031551672
340000	1983.4844	-26376.13	5806	0.0029633418
341000	1963.5293	-26386.612	5806	0.0027889109
342000	1932.8497	-26411.678	5806	0.0026307545
343000	1919.8571	-26402.203	5806	0.0024851342
344000	1869.9619	-26466.118	5806	0.002352109
345000	1831.6146	-26473.027	5806	0.0022298675
346000	1842.2937	-26525.003	5806	0.0021180978
347000	1818.2097	-26549.139	5806	0.002014537
348000	1796.2683	-26574.712	5806	0.0019190572
349000	1714.6446	-26583.386	5806	0.001816791
350000	1737.9884	-26626.987	5806	0.0017101371
351000	1718.235	-26663.639	5806	0.0016132865
352000	1703.4311	-26700.307	5806	0.001525383
353000	1675.0448	-26722.815	5806	0.0014443737
354000	1601.509	-26709.756	5806	0.0013701521
355000	1622.8007	-26716.567	5806	0.0013020381
356000	1597.6629	-26796.881	5806	0.0012394408
357000	1570.5984	-26772.232	5806	0.0011815645

358000	1531.0352	-26827.055	5806	0.0011282445
359000	1560.5709	-26844.38	5806	0.0010787881
360000	1477.7015	-26840.785	5806	0.0010331034
361000	1491.7309	-26897.181	5806	0.0009906489
362000	1440.4184	-26927.234	5806	0.00095105067
363000	1450.9248	-26975.413	5806	0.00091420077
364000	1416.1408	-26975.864	5806	0.00088005427
365000	1370.3267	-27008.29	5806	0.00084825082
366000	1330.9497	-27045.877	5806	0.0008186312
367000	1292.5349	-27074.644	5806	0.00079079997
368000	1331.7716	-27079.313	5806	0.00076464611
369000	1250.1464	-27111.362	5806	0.00074004928
370000	1236.2872	-27146.094	5806	0.00071690665
371000	1232.8427	-27143.69	5806	0.00069518899
372000	1186.2372	-27195.735	5806	0.00067473771
373000	1173.6708	-27231.334	5806	0.0006554953
374000	1155.2516	-27250.008	5806	0.00063735186
375000	1098.7635	-27232.576	5806	0.00062013736
376000	1094.0426	-27280.253	5806	0.00060402356
377000	1063.8432	-27304.558	5806	0.00058866634
378000	1046.1495	-27328.663	5806	0.00057419631
379000	1017.1794	-27351.307	5806	0.00056048446
380000	1000.4156	-27372.04	5806	0.00054753266
381000	972.39163	-27395.459	5806	0.00053520641
382000	941.53656	-27419.574	5806	0.00052360013
383000	941.22767	-27447.002	5806	0.00051261765
384000	904.50988	-27453.63	5806	0.00050219268
385000	870.56246	-27486.762	5806	0.00049228316

386000	850.57573	-27533.106	5806	0.00048288434
387000	821.95804	-27554.212	5806	0.00047310856
388000	813.32765	-27565.5	5806	0.00046303965
389000	782.57593	-27587.325	5806	0.00045246152
390000	755.03828	-27601.326	5806	0.00044144769
391000	729.90645	-27621.775	5806	0.00043110037
392000	706.81405	-27651.724	5806	0.00042142842
393000	684.37294	-27674.378	5806	0.00041229895
394000	651.79701	-27694.328	5806	0.0004037084
395000	632.40568	-27713.758	5806	0.00039563501
396000	605.88989	-27733.324	5806	0.00038806878
397000	582.14959	-27754.333	5806	0.00038097054
398000	569.69056	-27783.016	5806	0.00037397469
399000	540.49946	-27802.557	5806	0.00036514413
400000	517.73622	-27826.342	5806	0.00035700171
401000	499.32966	-27850.703	5806	0.00034948593
402000	472.48471	-27860.592	5806	0.00034250574
403000	453.49141	-27889.521	5806	0.00033601927
404000	414.82012	-27901.196	5806	0.00033004916
405000	389.96394	-27926.364	5806	0.00032453644
406000	371.467	-27949.745	5806	0.0003194485
407000	349.45095	-27971.18	5806	0.00031477098
408000	326.1355	-27990.998	5806	0.0003104787
409000	297.41148	-28008.661	5806	0.00030655807
410000	272.46169	-28026.606	5806	0.00030299661

Loop time of 890.367 on 4 procs for 100000 steps with 5806 atoms

Performance: 9.704 ns/day, 2.473 hours/ns, 112.313 timesteps/s

88.7% CPU use with 1 MPI tasks x 4 OpenMP threads

MPI task timing breakdown:

Section	min time	avg time	max time	%varavg	%total
---------	----------	----------	----------	---------	--------

Pair	343.48	343.48	343.48	0.0	38.58
Neigh	430.7	430.7	430.7	0.0	48.37
Comm	15.805	15.805	15.805	0.0	1.78
Output	68.821	68.821	68.821	0.0	7.73
Modify	29.471	29.471	29.471	0.0	3.31
Other		2.091			0.23

Nlocal: 5806 ave 5806 max 5806 min

Histogram: 1 0 0 0 0 0 0 0 0 0

Nghost: 0 ave 0 max 0 min

Histogram: 1 0 0 0 0 0 0 0 0 0

Neighs: 444596 ave 444596 max 444596 min

Histogram: 1 0 0 0 0 0 0 0 0 0

FullNghs: 0 ave 0 max 0 min

Histogram: 1 0 0 0 0 0 0 0 0 0

Total # of neighbors = 444596

Ave neighs/atom = 76.5753

Neighbor list builds = 10000

Dangerous builds not checked

#-----SELESAI-----

Lampiran B. log *script* menggunakan laju temperatur Solidifikasi 10^{11} K/s

Step Temp PotEng Atoms Density

110000	8722.6594	-8433.7995	5806	0.68958435
111000	8647.6024	-8367.9691	5806	0.6725086
112000	8687.0226	-8372.5341	5806	0.65556514
113000	8719.157	-8357.6416	5806	0.63915828
114000	8728.4181	-8319.3646	5806	0.62324595
115000	8852.555	-8372.4221	5806	0.60780148
116000	8896.8645	-8369.3209	5806	0.59282104
117000	8955.5178	-8381.7243	5806	0.57830093
118000	8942.8999	-8340.2194	5806	0.56420868
119000	8938.2317	-8301.4363	5806	0.55053988
120000	9032.3947	-8336.6449	5806	0.53700948
121000	8976.6331	-8257.652	5806	0.52381338
122000	9078.2156	-8294.6087	5806	0.51102127
123000	9077.6178	-8258.3039	5806	0.49789005
124000	9124.9986	-8260.9825	5806	0.48503218
125000	9141.8676	-8237.535	5806	0.47258482
126000	9127.6171	-8197.2135	5806	0.46029098
127000	9152.6099	-8185.4524	5806	0.44823932
128000	9142.5104	-8151.7973	5806	0.43658611
129000	9176.3207	-8152.3439	5806	0.42532581
130000	9066.022	-8049.7375	5806	0.41443167
131000	9128.3379	-8078.7385	5806	0.40389676
132000	9210.2448	-8126.0636	5806	0.39222936
133000	9198.6619	-8106.7883	5806	0.38100747
134000	9261.691	-8150.5947	5806	0.37023687
135000	9270.892	-8161.4561	5806	0.35986862
136000	9181.4547	-8102.9196	5806	0.34987539
137000	9104.1778	-8062.4539	5806	0.34026488

138000	9038.6881	-8037.9139	5806	0.33103395
139000	9051.8718	-8077.8015	5806	0.32215348
140000	9010.1945	-8083.0526	5806	0.31360683
141000	8914.3631	-8046.5176	5806	0.30538246
142000	8760.4681	-7968.1688	5806	0.29747516
143000	8747.4704	-7996.4049	5806	0.28987025
144000	8683.048	-7987.5873	5806	0.28255337
145000	8750.5987	-8076.3472	5806	0.27550306
146000	8769.9376	-8131.3959	5806	0.26870097
147000	8749.9044	-8157.8899	5806	0.2621464
148000	8669.4783	-8141.1021	5806	0.25581995
149000	8670.483	-8186.0648	5806	0.24971337
150000	8612.2783	-8188.6615	5806	0.24382661
151000	8652.9329	-8265.2468	5806	0.23815359
152000	8655.0185	-8314.8711	5806	0.2326794
153000	8563.8165	-8294.5712	5806	0.22739255
154000	8537.5459	-8323.8273	5806	0.22228458
155000	8416.3966	-8282.2	5806	0.21734937
156000	8408.3991	-8327.9881	5806	0.21257832
157000	8479.0112	-8434.147	5806	0.20796912
158000	8436.0388	-8454.8015	5806	0.20351574
159000	8343.7713	-8440.1512	5806	0.19920446
160000	8335.4305	-8489.3853	5806	0.19503124
161000	8300.1482	-8521.0756	5806	0.19099163
162000	8306.6453	-8584.0927	5806	0.18708261
163000	8261.658	-8609.8596	5806	0.18329667
164000	8241.0753	-8655.214	5806	0.17962873
165000	8186.6517	-8672.8596	5806	0.17607705

166000	8153.4859	-8708.0564	5806	0.17263848
167000	8146.8301	-8764.6048	5806	0.16930328
168000	8059.6998	-8764.1179	5806	0.16606605
169000	7999.7425	-8784.4217	5806	0.1629247
170000	7981.2524	-8833.6378	5806	0.15987762
171000	7921.85	-8854.4983	5806	0.15692172
172000	7912.925	-8913.1799	5806	0.15405674
173000	7861.7158	-8936.9938	5806	0.15127757
174000	7820.6159	-8973.0791	5806	0.14858131
175000	7817.8876	-9039.4332	5806	0.1459609
176000	7790.4509	-9086.5729	5806	0.14340982
177000	7671.3889	-9065.9295	5806	0.14092474
178000	7608.2539	-9087.6324	5806	0.13850825
179000	7620.5626	-9167.2968	5806	0.13606982
180000	7598.3766	-9220.7308	5806	0.1336619
181000	7552.2104	-9259.5872	5806	0.13132395
182000	7555.0508	-9336.725	5806	0.1290542
183000	7532.1486	-9393.6356	5806	0.12685019
184000	7527.0477	-9467.1541	5806	0.12439288
185000	7480.5252	-9511.9142	5806	0.12197034
186000	7457.2032	-9575.4185	5806	0.11962702
187000	7511.2933	-9697.7648	5806	0.11735978
188000	7507.2007	-9776.8571	5806	0.11516592
189000	7429.4126	-9803.6746	5806	0.11304273
190000	7379.4827	-9850.9703	5806	0.11098686
191000	7322.0636	-9893.278	5806	0.10899558
192000	7340.4982	-9994.0189	5806	0.10706709
193000	7316.7865	-10065.041	5806	0.10519902

194000	7244.3584	-10099.118	5806	0.10338889
195000	7217.5561	-10166.119	5806	0.10163457
196000	7134.5997	-10192.059	5806	0.099933985
197000	7082.9696	-10243.78	5806	0.098284724
198000	7079.5275	-10333.241	5806	0.096684981
199000	7008.0862	-10373.178	5806	0.095132904
200000	7009.5707	-10464.373	5806	0.09362668
201000	6960.2911	-10519.454	5806	0.092164926
202000	6950.9881	-10607.732	5806	0.090745904
203000	6932.9047	-10690.938	5806	0.089368041
204000	6976.13	-10820.421	5806	0.088030346
205000	6845.5157	-10824.305	5806	0.086730992
206000	6870.6554	-10942.193	5806	0.085469137
207000	6871.4362	-11041.557	5806	0.084243529
208000	6814.3167	-11101.19	5806	0.08305294
209000	6798.3811	-11192.796	5806	0.081895772
210000	6731.0226	-11247.29	5806	0.080770935
210000	6731.0226	-11247.29	5806	0.080770935
211000	6844.8007	-11357.927	5806	0.079672815
212000	6852.5001	-11420.362	5806	0.078598399
213000	6883.1893	-11510.318	5806	0.077549467
214000	6844.7505	-11539.027	5806	0.076524899
215000	6837.7363	-11596.726	5806	0.075524177
216000	6819.0755	-11657.267	5806	0.074547703
217000	6771.0104	-11698.269	5806	0.073595012
218000	6824.0771	-11820.9	5806	0.072665587
219000	6767.2164	-11864.471	5806	0.071759015
220000	6733.9468	-11925.379	5806	0.070874909

221000	6631.5046	-11936.019	5806	0.070012577
222000	6585.1802	-11987.413	5806	0.069171442
223000	6497.9845	-12008.168	5806	0.068350911
224000	6494.2158	-12095.521	5806	0.06755044
225000	6482.9579	-12178.529	5806	0.066769281
226000	6442.8196	-12243.45	5806	0.066007162
227000	6449.2307	-12345.561	5806	0.065263577
228000	6406.5359	-12410.556	5806	0.064538294
229000	6398.7427	-12504.448	5806	0.063831044
230000	6334.3058	-12556.762	5806	0.063140905
231000	6289.7213	-12622.396	5806	0.062467065
232000	6265.4279	-12700.564	5806	0.061809275
233000	6238.3692	-12780.293	5806	0.061167278
234000	6236.7015	-12878.898	5806	0.060540836
235000	6205.8154	-12958.054	5806	0.059926891
236000	6224.8035	-13074.408	5806	0.059297805
237000	6194.0204	-13153.619	5806	0.058684063
238000	6167.4847	-13239.446	5806	0.058085232
239000	6076.7091	-13275.246	5806	0.057501046
240000	6106.6345	-13402.022	5806	0.056931026
241000	6011.3346	-13433.415	5806	0.056374726
242000	5932.1839	-13475.014	5806	0.055831595
243000	5836.3577	-13502.329	5806	0.05530123
244000	5796.2783	-13573.899	5806	0.054783084
245000	5776.771	-13658.812	5806	0.054277105
246000	5761.397	-13748.292	5806	0.053782733
247000	5780.4803	-13861.269	5806	0.053299749
248000	5717.8758	-13917.374	5806	0.052827923

249000	5741.2157	-14038.546	5806	0.052366924
250000	5747.7773	-14148.035	5806	0.051916278
251000	5687.3761	-14204.773	5806	0.051475897
252000	5611.3822	-14247.6	5806	0.051045452
253000	5569.8053	-14318.887	5806	0.050624898
254000	5568.3826	-14420.884	5806	0.050213746
255000	5535.0305	-14500.777	5806	0.049811704
256000	5491.2032	-14571.884	5806	0.049418656
257000	5461.7873	-14653.292	5806	0.049034314
258000	5481.0974	-14772.02	5806	0.048658424
259000	5543.31	-14925.525	5806	0.048290863
260000	5489.1144	-14989.496	5806	0.047931463
261000	5432.063	-15049.853	5806	0.047579875
262000	5302.301	-15052.932	5806	0.047235967
263000	5242.3631	-15108.245	5806	0.046899571
264000	5229.5748	-15198.565	5806	0.046570205
265000	5223.9899	-15295.113	5806	0.046247782
266000	5199.2318	-15381.883	5806	0.045932338
267000	5166.1026	-15459.639	5806	0.045623488
268000	5247.0458	-15622.069	5806	0.045321245
269000	5163.4155	-15662.678	5806	0.045025602
270000	5164.3796	-15765.933	5806	0.044736226
271000	5092.9962	-15812.352	5806	0.044452862
272000	5102.0924	-15923.526	5806	0.044175541
273000	5004.2688	-15950.585	5806	0.043904029
274000	4881.8914	-15954.082	5806	0.04363805
275000	4944.5919	-16098.698	5806	0.043377596
276000	4929.6853	-16188.563	5806	0.043122431

277000	4895.0536	-16261.351	5806	0.042872505
278000	4890.9132	-16361.422	5806	0.042627754
279000	4875.6591	-16453.334	5806	0.042387911
280000	4838.9659	-16527.104	5806	0.042152968
281000	4768.4601	-16572.431	5806	0.041922855
282000	4697.5946	-16616.754	5806	0.04169736
283000	4720.4655	-16732.64	5806	0.041476451
284000	4655.3689	-16778.596	5806	0.041259961
285000	4658.4766	-16877.379	5806	0.041047897
286000	4615.6416	-16940.836	5806	0.040840082
287000	4519.3039	-16963.66	5806	0.040636308
288000	4561.8472	-17091.977	5806	0.040436497
289000	4454.9412	-17107.073	5806	0.040240635
290000	4456.2599	-17201.32	5806	0.040048757
291000	4523.9649	-17347.174	5806	0.03986071
292000	4392.0276	-17344.674	5806	0.039676315
293000	4452.8532	-17488.695	5806	0.039495563
294000	4388.7521	-17537.758	5806	0.039318328
295000	4426.6132	-17666.037	5806	0.039144634
296000	4330.5603	-17690.936	5806	0.038974373
297000	4313.4712	-17773.617	5806	0.038807354
298000	4294.5395	-17852.438	5806	0.038643558
299000	4245.063	-17908.157	5806	0.03848299
300000	4197.9202	-17964.371	5806	0.038325574
301000	4175.2944	-18041.474	5806	0.038171228
302000	4241.1531	-18189.45	5806	0.038019837
303000	4195.5388	-18250.426	5806	0.037871322
304000	4168.8476	-18324.777	5806	0.037725782

305000	4128.5022	-18386.814	5806	0.037583103
306000	4008.5477	-18389.273	5806	0.037443115
307000	3982.295	-18458.176	5806	0.037305843
308000	4012.7829	-18569.946	5806	0.037171149
309000	3935.5902	-18603.844	5806	0.037039119
310000	3986.039	-18735.164	5806	0.036909643
310000	3986.039	-18735.164	5806	0.036909643
311000	3874.5278	-19096.671	5806	0.035692509
312000	3786.1374	-19627.7	5806	0.034624468
313000	3607.8092	-20103.596	5806	0.033672375
314000	3411.1813	-20542.409	5806	0.032841031
315000	3215.9673	-20945.57	5806	0.032118689
316000	3040.7238	-21313.587	5806	0.031483381
317000	2908.0912	-21668.101	5806	0.03092161
318000	2785.4056	-21973.745	5806	0.030421469
319000	2712.8501	-22268.585	5806	0.0299729
320000	2561.8815	-22454.735	5806	0.029567388
321000	2518.0634	-22675.659	5806	0.029193451
322000	2394.1828	-22798.399	5806	0.028848346
323000	2335.6871	-22918.437	5806	0.028526523
324000	2382.1104	-23074.741	5806	0.028220452
325000	2330.1575	-23139.51	5806	0.027926862
326000	2338.6322	-23230.043	5806	0.027645387
327000	2308.4332	-23294.473	5806	0.027373484
328000	2278.1783	-23355.14	5806	0.027111773
329000	2288.6843	-23462.042	5806	0.026857909
330000	2218.8086	-23525.156	5806	0.026615295
331000	2213.5756	-23626.154	5806	0.026383489

332000	2190.1688	-23701.58	5806	0.026163016
333000	2175.78	-23780.298	5806	0.025950103
334000	2097.1406	-23802.646	5806	0.025746341
335000	2126.3262	-23892.464	5806	0.025547988
336000	2067.4513	-23937.724	5806	0.02535656
337000	2055.1838	-24020.524	5806	0.025173018
338000	2015.3311	-24085.338	5806	0.024996904
339000	2009.9283	-24172.312	5806	0.024827828
340000	1994.2485	-24244.599	5806	0.02466245
341000	1973.92	-24317.234	5806	0.02450562
342000	1904.795	-24363.663	5806	0.024354762
343000	1891.2571	-24445.564	5806	0.024208728
344000	1881.2652	-24522.767	5806	0.024068191
345000	1885.6184	-24616.049	5806	0.023933201
346000	1823.7784	-24663.467	5806	0.02380298
347000	1830.1993	-24747.867	5806	0.023678712
348000	1790.5748	-24799.815	5806	0.02355779
349000	1743.0553	-24847.091	5806	0.023440222
350000	1744.6872	-24933.179	5806	0.023327551
351000	1717.4354	-24989.933	5806	0.023219587
352000	1689.0308	-25036.005	5806	0.023115083
353000	1675.9032	-25092.527	5806	0.0230149
354000	1619.2528	-25110.823	5806	0.022919026
355000	1634.8934	-25184.463	5806	0.022824071
356000	1598.9802	-25231.233	5806	0.022731755
357000	1573.2249	-25277.412	5806	0.022642736
358000	1556.5366	-25340.007	5806	0.022555505
359000	1543.4318	-25410.43	5806	0.022471926

360000	1522.6495	-25480.048	5806	0.022391631
361000	1487.031	-25537.576	5806	0.022315624
362000	1459.1689	-25601.092	5806	0.02224351
363000	1429.7543	-25652.784	5806	0.022174378
364000	1402.3108	-25704.846	5806	0.022107542
365000	1346.8869	-25721.017	5806	0.022043703
366000	1354.4639	-25779.234	5806	0.021982586
367000	1329.131	-25811.353	5806	0.021922267
368000	1288.8089	-25826.402	5806	0.021863413
369000	1284.589	-25871.813	5806	0.021805801
370000	1242.4774	-25889.789	5806	0.021750233
371000	1224.8741	-25928.723	5806	0.021695776
372000	1220.1231	-25975.035	5806	0.021641741
373000	1177.8867	-25994.112	5806	0.021588974
374000	1156.9473	-26023.537	5806	0.021538351
375000	1127.114	-26040.013	5806	0.021490184
376000	1107.6087	-26070.566	5806	0.021442139
377000	1097.9851	-26110.612	5806	0.02139536
378000	1054.0299	-26116.702	5806	0.021349521
379000	1045.5042	-26158.367	5806	0.021303466
380000	1011.1014	-26179.674	5806	0.021258091
381000	991.63715	-26213.485	5806	0.021214976
382000	966.39393	-26248.212	5806	0.021174698
383000	939.60006	-26272.285	5806	0.021135379
384000	924.42886	-26305.885	5806	0.021096724
385000	887.97197	-26323.205	5806	0.021059978
386000	869.88078	-26355.994	5806	0.021023389
387000	852.76392	-26388.079	5806	0.02098777

388000	827.43643	-26411.03	5806	0.020953869
389000	802.76406	-26438.462	5806	0.020921397
390000	780.26191	-26461.23	5806	0.020890433
391000	749.798	-26477.307	5806	0.020861497
392000	732.99131	-26505.785	5806	0.020832583
393000	702.58998	-26521.179	5806	0.020804882
394000	685.55211	-26548.691	5806	0.02077757
395000	671.99808	-26577.837	5806	0.020752108
396000	644.65457	-26597.426	5806	0.020728068
397000	611.72707	-26614.176	5806	0.020705753
398000	604.65179	-26647.346	5806	0.02068335
399000	569.40302	-26662.689	5806	0.020662255
400000	552.47448	-26688.756	5806	0.020643438
401000	524.99703	-26711.743	5806	0.020624264
402000	522.80605	-26753.112	5806	0.020605892
403000	482.30767	-26762.361	5806	0.020588381
404000	457.05406	-26784.467	5806	0.020571399
405000	431.10582	-26803.339	5806	0.020555749
406000	412.5451	-26830.268	5806	0.020540592
407000	377.67643	-26839.237	5806	0.020525615
408000	363.61282	-26866.025	5806	0.020512574
409000	336.47876	-26885.139	5806	0.020500957
410000	317.32401	-26906.202	5806	0.020490085

Loop time of 493.73 on 4 procs for 100000 steps with 5806 atoms

Performance: 1.750 ns/day, 13.715 hours/ns, 202.540 timesteps/s

96.3% CPU use with 1 MPI tasks x 4 OpenMP threads

MPI task timing breakdown:

Section	min time	avg time	max time	%varavg	%total
---------	----------	----------	----------	---------	--------

Pair	312.31	312.31	312.31	0.0	63.26
Neigh	78.555	78.555	78.555	0.0	15.91
Comm	0.69978	0.69978	0.69978	0.0	0.14
Output	70.291	70.291	70.291	0.0	14.24
Modify	29.6	29.6	29.6	0.0	6.00
Other		2.275			0.46

Nlocal: 5806 ave 5806 max 5806 min

Histogram: 1 0 0 0 0 0 0 0 0 0

Nghost: 0 ave 0 max 0 min

Histogram: 1 0 0 0 0 0 0 0 0 0

Neighs: 407501 ave 407501 max 407501 min

Histogram: 1 0 0 0 0 0 0 0 0 0

FullNghs: 0 ave 0 max 0 min

Histogram: 1 0 0 0 0 0 0 0 0 0

Total # of neighbors = 407501

Ave neighs/atom = 70.1862

Neighbor list builds = 10000

Dangerous builds not checked

#-----SELESAI-----

Lampiran

Lampiran C. log script menggunakan dengan laju temperatur solidifikasi 10^{10} K/s

Step Temp PotEng Atoms Density

110000 8722.6594 -8433.7995 5806 0.68958435

111000	8647.6024	-8367.9691	5806	0.6725086
112000	8687.0226	-8372.5341	5806	0.65556514
113000	8719.157	-8357.6416	5806	0.63915828
114000	8728.4181	-8319.3646	5806	0.62324595
115000	8852.555	-8372.4221	5806	0.60780148
116000	8896.8645	-8369.3209	5806	0.59282104
117000	8955.5178	-8381.7243	5806	0.57830093
118000	8942.8999	-8340.2194	5806	0.56420868
119000	8938.2317	-8301.4363	5806	0.55053988
120000	9032.3947	-8336.6449	5806	0.53700948
121000	8976.6331	-8257.652	5806	0.52381338
122000	9078.2156	-8294.6087	5806	0.51102127
123000	9077.6178	-8258.3039	5806	0.49789005
124000	9124.9986	-8260.9825	5806	0.48503218
125000	9141.8676	-8237.535	5806	0.47258482
126000	9127.6171	-8197.2135	5806	0.46029098
127000	9152.6099	-8185.4524	5806	0.44823932
128000	9142.5104	-8151.7973	5806	0.43658611
129000	9176.3207	-8152.3439	5806	0.42532581
130000	9066.022	-8049.7375	5806	0.41443167
131000	9128.3379	-8078.7385	5806	0.40389676
132000	9210.2448	-8126.0636	5806	0.39222936
133000	9198.6619	-8106.7883	5806	0.38100747
134000	9261.691	-8150.5947	5806	0.37023687
135000	9270.892	-8161.4561	5806	0.35986862
136000	9181.4547	-8102.9196	5806	0.34987539
137000	9104.1778	-8062.4539	5806	0.34026488
138000	9038.6881	-8037.9139	5806	0.33103395

139000	9051.8718	-8077.8015	5806	0.32215348
140000	9010.1945	-8083.0526	5806	0.31360683
141000	8914.3631	-8046.5176	5806	0.30538246
142000	8760.4681	-7968.1688	5806	0.29747516
143000	8747.4704	-7996.4049	5806	0.28987025
144000	8683.048	-7987.5873	5806	0.28255337
145000	8750.5987	-8076.3472	5806	0.27550306
146000	8769.9376	-8131.3959	5806	0.26870097
147000	8749.9044	-8157.8899	5806	0.2621464
148000	8669.4783	-8141.1021	5806	0.25581995
149000	8670.483	-8186.0648	5806	0.24971337
150000	8612.2783	-8188.6615	5806	0.24382661
151000	8652.9329	-8265.2468	5806	0.23815359
152000	8655.0185	-8314.8711	5806	0.2326794
153000	8563.8165	-8294.5712	5806	0.22739255
154000	8537.5459	-8323.8273	5806	0.22228458
155000	8416.3966	-8282.2	5806	0.21734937
156000	8408.3991	-8327.9881	5806	0.21257832
157000	8479.0112	-8434.147	5806	0.20796912
158000	8436.0388	-8454.8015	5806	0.20351574
159000	8343.7713	-8440.1512	5806	0.19920446
160000	8335.4305	-8489.3853	5806	0.19503124
161000	8300.1482	-8521.0756	5806	0.19099163
162000	8306.6453	-8584.0927	5806	0.18708261
163000	8261.658	-8609.8596	5806	0.18329667
164000	8241.0753	-8655.214	5806	0.17962873
165000	8186.6517	-8672.8596	5806	0.17607705
166000	8153.4859	-8708.0564	5806	0.17263848

167000	8146.8301	-8764.6048	5806	0.16930328
168000	8059.6998	-8764.1179	5806	0.16606605
169000	7999.7425	-8784.4217	5806	0.1629247
170000	7981.2524	-8833.6378	5806	0.15987762
171000	7921.85	-8854.4983	5806	0.15692172
172000	7912.925	-8913.1799	5806	0.15405674
173000	7861.7158	-8936.9938	5806	0.15127757
174000	7820.6159	-8973.0791	5806	0.14858131
175000	7817.8876	-9039.4332	5806	0.1459609
176000	7790.4509	-9086.5729	5806	0.14340982
177000	7671.3889	-9065.9295	5806	0.14092474
178000	7608.2539	-9087.6324	5806	0.13850825
179000	7620.5626	-9167.2968	5806	0.13606982
180000	7598.3766	-9220.7308	5806	0.1336619
181000	7552.2104	-9259.5872	5806	0.13132395
182000	7555.0508	-9336.725	5806	0.1290542
183000	7532.1486	-9393.6356	5806	0.12685019
184000	7527.0477	-9467.1541	5806	0.12439288
185000	7480.5252	-9511.9142	5806	0.12197034
186000	7457.2032	-9575.4185	5806	0.11962702
187000	7511.2933	-9697.7648	5806	0.11735978
188000	7507.2007	-9776.8571	5806	0.11516592
189000	7429.4126	-9803.6746	5806	0.11304273
190000	7379.4827	-9850.9703	5806	0.11098686
191000	7322.0636	-9893.278	5806	0.10899558
192000	7340.4982	-9994.0189	5806	0.10706709
193000	7316.7865	-10065.041	5806	0.10519902
194000	7244.3584	-10099.118	5806	0.10338889

195000	7217.5561	-10166.119	5806	0.10163457
196000	7134.5997	-10192.059	5806	0.099933985
197000	7082.9696	-10243.78	5806	0.098284724
198000	7079.5275	-10333.241	5806	0.096684981
199000	7008.0862	-10373.178	5806	0.095132904
200000	7009.5707	-10464.373	5806	0.09362668
201000	6960.2911	-10519.454	5806	0.092164926
202000	6950.9881	-10607.732	5806	0.090745904
203000	6932.9047	-10690.938	5806	0.089368041
204000	6976.13	-10820.421	5806	0.088030346
205000	6845.5157	-10824.305	5806	0.086730992
206000	6870.6554	-10942.193	5806	0.085469137
207000	6871.4362	-11041.557	5806	0.084243529
208000	6814.3167	-11101.19	5806	0.08305294
209000	6798.3811	-11192.796	5806	0.081895772
210000	6731.0226	-11247.29	5806	0.080770935
210000	6731.0226	-11247.29	5806	0.080770935
211000	6844.8007	-11357.927	5806	0.079672815
212000	6852.5001	-11420.362	5806	0.078598399
213000	6883.1893	-11510.318	5806	0.077549467
214000	6844.7505	-11539.027	5806	0.076524899
215000	6837.7363	-11596.726	5806	0.075524177
216000	6819.0755	-11657.267	5806	0.074547703
217000	6771.0104	-11698.269	5806	0.073595012
218000	6824.0771	-11820.9	5806	0.072665587
219000	6767.2164	-11864.471	5806	0.071759015
220000	6733.9468	-11925.379	5806	0.070874909
221000	6631.5046	-11936.019	5806	0.070012577

222000	6585.1802	-11987.413	5806	0.069171442
223000	6497.9845	-12008.168	5806	0.068350911
224000	6494.2158	-12095.521	5806	0.06755044
225000	6482.9579	-12178.529	5806	0.066769281
226000	6442.8196	-12243.45	5806	0.066007162
227000	6449.2307	-12345.561	5806	0.065263577
228000	6406.5359	-12410.556	5806	0.064538294
229000	6398.7427	-12504.448	5806	0.063831044
230000	6334.3058	-12556.762	5806	0.063140905
231000	6289.7213	-12622.396	5806	0.062467065
232000	6265.4279	-12700.564	5806	0.061809275
233000	6238.3692	-12780.293	5806	0.061167278
234000	6236.7015	-12878.898	5806	0.060540836
235000	6205.8154	-12958.054	5806	0.059926891
236000	6224.8035	-13074.408	5806	0.059297805
237000	6194.0204	-13153.619	5806	0.058684063
238000	6167.4847	-13239.446	5806	0.058085232
239000	6076.7091	-13275.246	5806	0.057501046
240000	6106.6345	-13402.022	5806	0.056931026
241000	6011.3346	-13433.415	5806	0.056374726
242000	5932.1839	-13475.014	5806	0.055831595
243000	5836.3577	-13502.329	5806	0.05530123
244000	5796.2783	-13573.899	5806	0.054783084
245000	5776.771	-13658.812	5806	0.054277105
246000	5761.397	-13748.292	5806	0.053782733
247000	5780.4803	-13861.269	5806	0.053299749
248000	5717.8758	-13917.374	5806	0.052827923
249000	5741.2157	-14038.546	5806	0.052366924

250000	5747.7773	-14148.035	5806	0.051916278
251000	5687.3761	-14204.773	5806	0.051475897
252000	5611.3822	-14247.6	5806	0.051045452
253000	5569.8053	-14318.887	5806	0.050624898
254000	5568.3826	-14420.884	5806	0.050213746
255000	5535.0305	-14500.777	5806	0.049811704
256000	5491.2032	-14571.884	5806	0.049418656
257000	5461.7873	-14653.292	5806	0.049034314
258000	5481.0974	-14772.02	5806	0.048658424
259000	5543.31	-14925.525	5806	0.048290863
260000	5489.1144	-14989.496	5806	0.047931463
261000	5432.063	-15049.853	5806	0.047579875
262000	5302.301	-15052.932	5806	0.047235967
263000	5242.3631	-15108.245	5806	0.046899571
264000	5229.5748	-15198.565	5806	0.046570205
265000	5223.9899	-15295.113	5806	0.046247782
266000	5199.2318	-15381.883	5806	0.045932338
267000	5166.1026	-15459.639	5806	0.045623488
268000	5247.0458	-15622.069	5806	0.045321245
269000	5163.4155	-15662.678	5806	0.045025602
270000	5164.3796	-15765.933	5806	0.044736226
271000	5092.9962	-15812.352	5806	0.044452862
272000	5102.0924	-15923.526	5806	0.044175541
273000	5004.2688	-15950.585	5806	0.043904029
274000	4881.8914	-15954.082	5806	0.04363805
275000	4944.5919	-16098.698	5806	0.043377596
276000	4929.6853	-16188.563	5806	0.043122431
277000	4895.0536	-16261.351	5806	0.042872505

278000	4890.9132	-16361.422	5806	0.042627754
279000	4875.6591	-16453.334	5806	0.042387911
280000	4838.9659	-16527.104	5806	0.042152968
281000	4768.4601	-16572.431	5806	0.041922855
282000	4697.5946	-16616.754	5806	0.04169736
283000	4720.4655	-16732.64	5806	0.041476451
284000	4655.3689	-16778.596	5806	0.041259961
285000	4658.4766	-16877.379	5806	0.041047897
286000	4615.6416	-16940.836	5806	0.040840082
287000	4519.3039	-16963.66	5806	0.040636308
288000	4561.8472	-17091.977	5806	0.040436497
289000	4454.9412	-17107.073	5806	0.040240635
290000	4456.2599	-17201.32	5806	0.040048757
291000	4523.9649	-17347.174	5806	0.03986071
292000	4392.0276	-17344.674	5806	0.039676315
293000	4452.8532	-17488.695	5806	0.039495563
294000	4388.7521	-17537.758	5806	0.039318328
295000	4426.6132	-17666.037	5806	0.039144634
296000	4330.5603	-17690.936	5806	0.038974373
297000	4313.4712	-17773.617	5806	0.038807354
298000	4294.5395	-17852.438	5806	0.038643558
299000	4245.063	-17908.157	5806	0.03848299
300000	4197.9202	-17964.371	5806	0.038325574
301000	4175.2944	-18041.474	5806	0.038171228
302000	4241.1531	-18189.45	5806	0.038019837
303000	4195.5388	-18250.426	5806	0.037871322
304000	4168.8476	-18324.777	5806	0.037725782
305000	4128.5022	-18386.814	5806	0.037583103

306000	4008.5477	-18389.273	5806	0.037443115
307000	3982.295	-18458.176	5806	0.037305843
308000	4012.7829	-18569.946	5806	0.037171149
309000	3935.5902	-18603.844	5806	0.037039119
310000	3986.039	-18735.164	5806	0.036909643
310000	3986.039	-18735.164	5806	0.036909643
311000	4034.4277	-18790.24	5806	0.03678182
312000	4034.4028	-18831.572	5806	0.03665506
313000	4054.0239	-18890.269	5806	0.036529773
314000	3983.566	-18876.233	5806	0.036405855
315000	3970.5959	-18913.458	5806	0.036283363
316000	3954.34	-18951.751	5806	0.036162326
317000	3893.8275	-18959.674	5806	0.03604276
318000	3941.4027	-19054.121	5806	0.035924882
319000	3854.4602	-19049.064	5806	0.035808749
320000	3859.0729	-19111.648	5806	0.035694142
321000	3891.4537	-19202.043	5806	0.035581123
322000	3841.5064	-19229.067	5806	0.03546978
323000	3820.8477	-19280.74	5806	0.03536013
324000	3780.9646	-19318.912	5806	0.035252191
325000	3739.1183	-19353	5806	0.03514582
326000	3734.3517	-19419.018	5806	0.035041023
327000	3728.9125	-19486.747	5806	0.034937931
328000	3708.1364	-19545.046	5806	0.034836495
329000	3722.3633	-19628.877	5806	0.03473669
330000	3723.0601	-19705.476	5806	0.034638538
331000	3652.0822	-19724.482	5806	0.034540509
332000	3575.9936	-19740.915	5806	0.034442744

333000	3572.6718	-19812.536	5806	0.034346606
334000	3545.3603	-19867.815	5806	0.034252196
335000	3502.241	-19910.754	5806	0.034159237
336000	3529.3489	-20009.656	5806	0.034068415
337000	3494.8036	-20062.547	5806	0.033979338
338000	3485.8471	-20136.556	5806	0.033891684
339000	3442.5642	-20183.284	5806	0.033805515
340000	3404.2653	-20232.279	5806	0.033720792
341000	3384.3337	-20294.882	5806	0.03363723
342000	3314.2005	-20320.031	5806	0.033554863
343000	3312.6653	-20397.707	5806	0.033474205
344000	3288.4143	-20461.244	5806	0.033395388
345000	3246.1421	-20509.614	5806	0.033318087
346000	3255.6437	-20598.596	5806	0.033242068
347000	3259.4419	-20685.492	5806	0.033167272
348000	3267.5318	-20775.793	5806	0.033093918
349000	3148.3024	-20771.067	5806	0.033022161
350000	3148.189	-20850.97	5806	0.032951903
351000	3095.2343	-20890.169	5806	0.032882922
352000	3074.702	-20956.349	5806	0.032815273
353000	3010.2061	-20986.663	5806	0.032748671
354000	2996.1554	-21055.295	5806	0.032683694
355000	2996.5333	-21140.091	5806	0.032620153
356000	2971.783	-21205.177	5806	0.032557505
357000	2932.3031	-21254.422	5806	0.03249598
358000	2877.4573	-21292.777	5806	0.03243562
359000	2837.0562	-21343.484	5806	0.032376552
360000	2853.3216	-21437.312	5806	0.032318484

361000	2755.8504	-21444.261	5806	0.032261757
362000	2789.9798	-21550.541	5806	0.032206625
363000	2792.0044	-21633.761	5806	0.032152589
364000	2693.2961	-21643.859	5806	0.032099213
365000	2757.0578	-21774.726	5806	0.032046741
366000	2666.6201	-21788.633	5806	0.031995353
367000	2629.4259	-21841.539	5806	0.031944943
368000	2599.4623	-21897.589	5806	0.03189602
369000	2542.9774	-21934.849	5806	0.031848204
370000	2523.1109	-22000.394	5806	0.031801734
371000	2546.7229	-22099.672	5806	0.031756336
372000	2464.3858	-22118.263	5806	0.031711748
373000	2451.1746	-22188.216	5806	0.031667866
374000	2414.4406	-22241.061	5806	0.031625217
375000	2414.2115	-22319.004	5806	0.031583452
376000	2342.0144	-22343.556	5806	0.03154272
377000	2319.2086	-22403.859	5806	0.031502999
378000	2266.7317	-22444.291	5806	0.031463853
379000	2250.3359	-22509.411	5806	0.031425822
380000	2212.3147	-22557.967	5806	0.031388762
381000	2149.4113	-22587.87	5806	0.031352278
382000	2150.8897	-22665.498	5806	0.031316727
383000	2064.4815	-22676.607	5806	0.031282131
384000	2057.225	-22746.596	5806	0.03124823
385000	2080.7717	-22839.744	5806	0.03121528
386000	2022.787	-22874.185	5806	0.031183175
387000	1947.1883	-22890.674	5806	0.031151974
388000	1907.9879	-22932.444	5806	0.031121739

389000	1858.8355	-22965.855	5806	0.031092349
390000	1819.9367	-23008.804	5806	0.031063775
391000	1824.3016	-23084.303	5806	0.031035924
392000	1807.0546	-23141.976	5806	0.031008698
393000	1771.2284	-23187.766	5806	0.030982198
394000	1755.922	-23246	5806	0.030956292
395000	1678.3823	-23258.803	5806	0.030931223
396000	1639.1538	-23298.022	5806	0.030906729
397000	1601.4955	-23340	5806	0.030882981
398000	1584.5061	-23397.463	5806	0.030859807
399000	1564.3679	-23450.329	5806	0.030837256
400000	1495.755	-23468.376	5806	0.030815262
401000	1453.8393	-23502.679	5806	0.030793967
402000	1459.2442	-23571.837	5806	0.030773436
403000	1409.6491	-23601.75	5806	0.030753368
404000	1378.3964	-23645.656	5806	0.030733806
405000	1350.2013	-23691.439	5806	0.03071482
406000	1316.7616	-23733.928	5806	0.030696655
407000	1284.4671	-23776.246	5806	0.030679061
408000	1251.7861	-23818.164	5806	0.030661955
409000	1214.133	-23856.847	5806	0.030645774
410000	1176.0876	-23895.33	5806	0.030630327

Loop time of 420.912 on 4 procs for 100000 steps with 5806 atoms

Performance: 0.205 ns/day, 116.920 hours/ns, 237.580 timesteps/s

95.6% CPU use with 1 MPI tasks x 4 OpenMP threads

MPI task timing breakdown:

Section	min time	avg time	max time	%varavg	%total
---------	----------	----------	----------	---------	--------

Pair	258.12	258.12	258.12	0.0	61.32
Neigh	59.167	59.167	59.167	0.0	14.06
Comm	0.52688	0.52688	0.52688	0.0	0.13
Output	71.226	71.226	71.226	0.0	16.92
Modify	29.518	29.518	29.518	0.0	7.01
Other		2.354			0.56

Nlocal: 5806 ave 5806 max 5806 min

Histogram: 1 0 0 0 0 0 0 0 0 0

Nghost: 0 ave 0 max 0 min

Histogram: 1 0 0 0 0 0 0 0 0 0

Neighs: 320322 ave 320322 max 320322 min

Histogram: 1 0 0 0 0 0 0 0 0 0

FullNghs: 0 ave 0 max 0 min

Histogram: 1 0 0 0 0 0 0 0 0 0

Total # of neighbors = 320322

Ave neighs/atom = 55.1709

Neighbor list builds = 10000

Dangerous builds not checked

#-----SELESAI-----